

# РАСЧЕТЫ СТРУКТУРЫ И ЭНЕРГИИ КОГЕРЕНТНЫХ МЕЖФАЗНЫХ ГРАНИЦ МЕЖДУ АУСТЕНИТОМ И МАРТЕНСИТОМ В ЖЕЛЕЗЕ МЕТОДОМ ОБОБЩЕННОГО ФУНКЦИОНАЛА ГИНЗБУРГА – ЛАНДАУ

*В. Г. Вакс<sup>a,b\*</sup>, А. Д. Заболотский<sup>a,b</sup>, И. Р. Панкратов<sup>a</sup>*

*<sup>a</sup> Национальный исследовательский центр «Курчатовский институт»  
123182, Москва, Россия*

*<sup>b</sup> Московский физико-технический институт (государственный университет)  
117303, Москва, Россия*

Поступила в редакцию 16 августа 2011 г.

На основе развитых ранее методов и экспериментальных данных о фононных спектрах и термодинамике ГЦК- и ОЦК-железа построен обобщенный функционал Гинзбурга – Ландау для микроскопических исследований кинетики фазовых превращений аустенит–мартенсит в железе. Этот функционал использован для расчетов структуры и свойств плоской межфазной границы между аустенитом и мартенситом при произвольных ориентациях этой границы и различных температурах. Рассчитаны профили параметра превращения в области межфазной границы. Найдено, что ширина межфазной границы обычно существенно превышает межатомные расстояния. Значения поверхностных энергий межфазных границ имеют порядок 500–800 эрг/см<sup>2</sup>, сильно зависят от ориентации и имеют резкий минимум, когда межфазные границы параллельны плотноупакованным атомным плоскостям.

## 1. ВВЕДЕНИЕ

Теоретические подходы к описанию мартенситных фазовых превращений в металлах и сплавах, прежде всего, в железе и сталях, обсуждаются уже многие годы, см., например, [1–5]. Однако эти обсуждения носят обычно только феноменологический или качественный характер, микроскопические же подходы здесь пока не развиты. Как отмечено в работах [6, 7], для развития последовательной теории мартенситных превращений можно использовать метод обобщенного функционала Гинзбурга – Ландау (ОФГЛ). В этом методе эволюция структуры кристалла при фазовом переходе описывается с помощью нескольких слабонеоднородных параметров превращения  $\eta_p$ , в качестве которых для мартенситных превращений естественно выбирать параметр  $s$ , описывающий относительное скольжение (в литературе называемое “shuffling”, “тасование” [11]) плотноупакованных атомных плоскостей, а также деформацию кристалла  $u_{\alpha\beta}$  [6, 7]. Метод ОФГЛ

при описании фазовых превращений в неоднородных системах отличается от обычного метода Гинзбурга – Ландау (ГЛ) тем, что в ОФГЛ малыми предполагаются только градиенты параметров превращения  $\eta_p$ , а сами  $\eta_p$  могут быть любыми [8], в то время как для применимости метода ГЛ сами  $\eta_p$  тоже должны быть малы. Поэтому метод ГЛ применим только к описанию фазовых переходов второго рода, которые в реальных сплавах очень редки, в то время как ОФГЛ может использоваться для изучения весьма широкого круга явлений, включая мартенситные превращения с фазовыми переходами первого рода. При этом ОФГЛ может строиться не только на основе феноменологических разложений по степеням  $\eta_p$ , как это обычно делается в методе ГЛ, но и на основе микроскопических расчетов, как это делалось, например, в работе [9] и делается ниже.

Как обсуждалось в работах [6, 7], реалистические ОФГЛ для описания мартенситных превращений можно строить на основе экспериментальных данных о фононных спектрах, если использовать некоторые естественные интерполяции. В работе [6]

---

\*E-mail: vaks@mbslab.kiae.ru

точность таких интерполяций при описании фазового перехода между ОЦК- и ГПУ-фазами железа под давлением была проиллюстрирована сравнением с результатами расчета *ab initio* [10]. В настоящей работе аналогичная интерполяция будет использована для того, чтобы на основе имеющихся данных о фононных спектрах в ГЦК- и ОЦК-фазах железа [12–14] построить ОФГЛ, описывающий превращения аустенит–мартенсит в железе и малоуглеродистых сталях.

Далее этот ОФГЛ будет использован для расчетов структуры и свойств плоской когерентной межфазной границы (МФГ) между аустенитом и мартенситом. Отметим, что для реальных включений мартенсита в аустените МФГ являются когерентными и практически плоскими только в случае мартенситных превращений при достаточно низких температурах, когда образуется пластинчатый (plate) мартенсит, в то время как при более высоких температурах образуется реечный (lath) мартенсит с заметной пластической деформацией на границах [1]. Однако в этой работе эффекты пластической деформации для простоты не рассматриваются. Будут рассчитаны все основные характеристики обсуждаемых межфазных границ, включая профили параметра превращения  $s$  в области МФГ, ширину МФГ  $w$  и ее поверхностную энергию  $\sigma$ , в зависимости от ориентации МФГ  $\mathbf{n}$  и температуры  $T$ . Как обсуждалось многими авторами, эти характеристики МФГ существенно входят в любые микроскопические рассмотрения кинетики мартенситного превращения, прежде всего, в теории зарождения и роста мартенситных включений в аустените, см., например, [1, 2]. В то же время какие-либо расчеты или оценки значений  $w(\mathbf{n}, T)$  и  $\sigma(\mathbf{n}, T)$  в литературе отсутствуют, а в теоретических обсуждениях используются только различные произвольные предположения об этих величинах [1, 2]. Поэтому расчеты и оценки, выполненные в настоящей работе, могут дать основу для реалистических теорий кинетики превращений аустенит–мартенсит в железе и сталях.

В разд. 2 обсуждаются общее выражение для используемого ОФГЛ и параметры, необходимые для его построения. В разд. 3 формулируется вариационный метод расчета свойств МФГ между мартенситом и аустенитом на основе ОФГЛ, включая наиболее важный для приложений случай, когда одна из этих фаз (аустенит) является метастабильной. В разд. 4 с помощью развитого вариационного метода получены общие уравнения для расчетов свойств МФГ и приведены явные решения этих уравнений в практически важном случае, когда вклады членов

с градиентами тензора дисторсии являются малыми. В разд. 5 и 6 обсуждаются методы микроскопических расчетов параметров используемого ОФГЛ. Эти расчеты не содержат подгоночных параметров и основаны на имеющихся экспериментальных данных о термодинамике и о фононных спектрах в ГЦК- и ОЦК-железе [12–15]. В разд. 7 приводятся численные значения параметров ОФГЛ, полученные методами, обсуждавшимися в разд. 5 и 6. В разд. 8 все описанные методы и результаты используются для расчетов различных характеристик когерентных МФГ между аустенитом и мартенситом в железе, включая ширину этих МФГ, их поверхностные энергии и профили параметров превращения в области МФГ. Основные выводы приводятся в Заключении.

## 2. ОБЩЕЕ ВЫРАЖЕНИЕ ДЛЯ ИСПОЛЬЗУЕМОГО ОФГЛ

Наш подход будет основан на результатах работ [6, 7]. Исходим из общего выражения для рассматриваемых ОФГЛ, аналогичного выражению (35) из работы [6]:

$$F = \int \frac{d^3 R}{v_{at}} f_{tot}(s, u_{\alpha\beta}, \nabla s, \nabla_{\alpha\beta}^2 u_{\gamma}). \quad (1)$$

Здесь  $s$  — параметр превращения (в работах [6, 7] называвшийся параметром фононных смещений), который описывает относительные скольжения, или «тасование», плотноупакованных атомных плоскостей при обсуждаемом фазовом превращении, так что значение  $s = 0$  соответствует аустениту, а значение  $s = 1$  — мартенситу. Через  $u_{\alpha\beta}$  обозначены деформации, сопровождающие это превращение, а через  $\nabla_{\alpha\beta}^2 u_{\gamma} = \partial^2 u_{\gamma} / \partial x_{\alpha} \partial x_{\beta}$  — вторые производные смещений, т. е. градиенты тензора дисторсии  $u_{\alpha\beta} = \nabla_{\beta} u_{\alpha}$ . Отметим, что тензор дисторсии есть сумма симметричного тензора деформации  $u_{\alpha\beta} = (\partial u_{\alpha} / \partial x_{\beta} + \partial u_{\beta} / \partial x_{\alpha}) / 2$  и антисимметричного тензора поворота  $\varepsilon_{\alpha\beta} = (\partial u_{\alpha} / \partial x_{\beta} - \partial u_{\beta} / \partial x_{\alpha}) / 2$ :

$$u_{\alpha\beta} = u_{\alpha\beta} + \varepsilon_{\alpha\beta},$$

и, как обсуждалось в работе [7], при обсуждаемом превращении как деформации  $u_{\alpha\beta}$ , так и повороты  $\varepsilon_{\alpha\beta}$  достаточно малы:  $|u_{\alpha\beta}|, |\varepsilon_{\alpha\beta}| \lesssim 0.1$ . Функция  $f_{tot}$  в формуле (1) есть свободная энергия на атом (для краткости называемая ниже просто свободной энергией), а  $v_{at}$  — объем, приходящийся на один атом. В ходе обсуждаемого превращения аустенит–мартенсит этот объем, вообще говоря, меняется, и это изменение можно учитывать, вводя в

$v_{at}$  зависимость от параметра превращения  $s$ , например, типа обсуждаемой ниже в уравнении (8). Однако для рассматриваемого превращения аустенит–мартенсит в железе эти изменения в множителе  $v_{at}$  малы и несущественны:  $\delta v_{at}/v_{at} < 0.03$ , и во избежание ненужных усложнений объем  $v_{at}$  в формуле (1) ниже считается постоянным.

Полную свободную энергию  $f_{tot}$  в формуле (1) будем записывать в виде суммы «однородных» фононного и упругого вкладов,  $f_s$  и  $f_u$ , и градиентных вкладов, обозначаемых соответственно как  $G_{ss}$ ,  $G_{su}$ ,  $G_{uu}$ :

$$f_{tot} = f_s + f_u + G_{ss} + G_{su} + G_{uu}. \quad (2)$$

Для функции  $f_s = f_s(s)$  в формуле (2) будем использовать интерполяцию полиномом по  $s$ , аналогичную использованной в работе [6] при обсуждении фазового перехода между ОЦК- и ГПУ-фазами железа под давлением. Эта интерполяция учитывает то, что функция  $f_s(s)$  должна иметь минимум как при  $s = 0$ , т. е. в ГЦК-фазе (аустените), так и при  $s = 1$ , т. е. в ОЦК-фазе (мартенсите), и эти минимумы разделены некоторым барьером, плавно меняющимся с  $s$ . При этом смещение каждого атома в ходе обсуждаемого превращения, как показано в работах [6, 7] и ниже, является достаточно малым. Поэтому естественно предположить, что при изменении  $s$  между нулем и единицей, описывающем это превращение, изменения свободной энергии  $f_s(s)$  являются весьма плавными. Тогда полное изменение  $f_s(s)$  в данном интервале должно адекватно описываться полиномом низшей возможной степени, аналогичным использованному в формуле (73) из работы [6], т. е. полиномом пятой степени, даваемым формулой (3) ниже.

Однако, в отличие от работы [6], мы будем рассматривать МФГ не только при наличии полного равновесия между обсуждаемыми двумя фазами, аустенитом и марленситом, но также и случаи, когда одна из этих фаз (аустенит) метастабильна, так что свободная энергия на один атом в марленсите ниже, чем в аустените, на некоторую величину  $\Delta = \Delta(T)$ . Тогда, если отсчитывать свободную энергию от ее значения в аустените, то функцию  $f_s$  в формуле (2) удобно записывать в виде суммы двух вкладов:  $f_e(s)$ , описывающего  $f_s$  при наличии полного межфазного равновесия и аналогичного использованному в формуле (73) из работы [6], и вклада  $f_\Delta(s)$ , связанного с метастабильностью аустенита:

$$\begin{aligned} f_s &= f_e(s) + f_\Delta(s), \\ f_e(s) &= \frac{1}{2}s^2(1-s)^2[c_a + (c_m - c_a)s], \\ f_\Delta(s) &= -s^3(10 - 15s + 6s^2)\Delta = \\ &= [(1-s)^3(1 + 3s + 6s^2) - 1]\Delta. \end{aligned} \quad (3)$$

Здесь и ниже индексы « $a$ » или « $m$ » соответствуют аустениту или марленситу, т. е. ГЦК- или ОЦК-фазе. Из формул (3) следует, что константа  $c_a$  или  $c_m$  имеет смысл «жесткости» (т. е. второй производной от свободной энергии) относительно параметра превращения  $s$  (т. е. относительно рассматриваемого тасования плотноупакованных плоскостей) в аустените или в марленсите, а методы расчета этих констант описываются ниже в разд. 5.

Однородный деформационный вклад  $f_u = f_u(u_{\alpha\beta}, s)$  в формуле (2) будем оценивать в приближении линейной теории упругости [7, ф. (24)], поскольку, как обсуждалось в работе [7], значения упругих деформаций, возникающих при превращении  $a \rightarrow m$ , являются достаточно малыми:

$$f_u = \frac{1}{2}v_{at}c_{\alpha\beta\gamma\delta}(u_{\alpha\beta} - u_{\alpha\beta}^e)(u_{\gamma\delta} - u_{\gamma\delta}^e). \quad (4)$$

По повторяющимся греческим (декартовым) индексам здесь и ниже подразумевается суммирование, а  $c_{\alpha\beta\gamma\delta} = c_{\alpha\beta\gamma\delta}(s)$  — значения модулей упругости на пути превращения, оцениваемые с помощью линейной интерполяции [7, ф. (48)] между значениями этих модулей в ГЦК- и в ОЦК-железе:

$$c_{\alpha\beta\gamma\delta}(s) = c_{\alpha\beta\gamma\delta}^a + s(c_{\alpha\beta\gamma\delta}^m - c_{\alpha\beta\gamma\delta}^a). \quad (5)$$

Значения же равновесных деформаций  $u_{\alpha\beta}^e = u_{\alpha\beta}^e(s)$  в (4) определяются из условия минимума функции  $f$  в формуле (24) из работы [7] по  $u_{\alpha\beta}$ , т. е. из уравнений

$$\begin{aligned} c_{\alpha\beta\gamma\delta}(s)u_{\gamma\delta}^e &= \sigma_{\alpha\beta}(s), \\ u_{\alpha\beta}^e &= (\mathbf{c}^{-1})_{\alpha\beta,\gamma\delta}\sigma_{\gamma\delta}(s), \end{aligned} \quad (6)$$

где  $\mathbf{c}^{-1}$  означает тензор, обратный тензору  $\mathbf{c}$ .

Для спонтанного напряжения  $\sigma_{\alpha\beta}(s) = (\partial f_u / \partial u_{\alpha\beta})_{u_{\alpha\beta}=0}$  в работе [7] обсуждалась линейная интерполяция [7, ф. (51)] между значением этого напряжения в аустените,  $\sigma_{\alpha\beta}(0) = \sigma_{\alpha\beta}^a = 0$ , и в марленсите,  $\sigma_{\alpha\beta}(1) = \sigma_{\alpha\beta}^m$ :  $\sigma_{\alpha\beta}(s) = s\sigma_{\alpha\beta}^m$ . При этом значение  $\sigma_{\alpha\beta}^m$  оценивалось по формулам линейной теории упругости [7, ф. (50)]:

$$\sigma_{\alpha\beta}^m = c_{\alpha\beta\gamma\delta}^m u_{\gamma\delta}^m, \quad (7)$$

где  $c_{\alpha\beta\gamma\delta}^m$  — модули упругости в марленсите, а  $u_{\gamma\delta}^m$  — спонтанные деформации решетки марленсита относительно аустенита. Однако такая линейная

интерполяция для  $\sigma_{\alpha\beta}(s)$  не учитывает соображений симметрии, обсуждаемых ниже в связи с формулой (93), которые показывают, что производные  $\partial\sigma_{\alpha\beta}/\partial s$  должны обращаться в нуль как при  $s = 0$ , т. е. в аустените, так и при  $s = 1$ , т. е. в мартенсите. Поэтому ниже для  $\sigma_{\alpha\beta}(s)$  используется интерполяция полиномом от  $s$  минимально возможной (третьей) степени, которая удовлетворяет обоим этим условиям:

$$\sigma_{\alpha\beta}(s) = s^2(3 - 2s)\sigma_{\alpha\beta}^m. \quad (8)$$

Для градиентного члена  $G_{ss}$ , билинейного по градиентам параметра превращения, используем то же выражение, что в формуле (23) из работы [7]

$$G_{ss} = g_{\alpha\beta}^{ss}\nabla_\alpha s\nabla_\beta s. \quad (9)$$

Явные выражения для градиентных коэффициентов  $g_{\alpha\beta}^{ss}$  даются первым слагаемым формулы (48) или формулой (49) из работы [6]. Согласно этим формулам, коэффициенты  $g_{\alpha\beta}^{ss}$  выражаются через матрицу силовых постоянных  $\mathbf{A} = A_{mn}^{\alpha\beta}(s)$  шестиатомного кристалла, возникающего при каждом значении  $s$  на обсуждаемом пути превращения  $a \rightarrow m$ . Поскольку эти силовые постоянные, вообще говоря, меняются с  $s$ , то и градиентные коэффициенты  $g_{\alpha\beta}^{ss}$  в формуле (9) должны зависеть от  $s$ .

Слагаемые  $G_{uu}$  и  $G_{su}$  в формуле (2), содержащие градиенты тензора дисторсии  $\nabla_{\alpha\beta}^2$ , будем для краткости называть градиентно-деформационными. Вклад  $G_{uu}$  соответствует членам, билинейным по градиентам  $\nabla_\gamma u_{\alpha,\beta}$  (члены типа  $u_{\alpha,\beta}\nabla_\gamma u_{\delta,\lambda}$ , билинейные по компонентам тензора дисторсии и по их градиентам, не дают вклада в функционал (1), поскольку интегрированием по частям они сводятся к внешнеподобным членам, исчезающим в рассматриваемых вариационных задачах). Тогда вклад  $G_{su}$  можно записать в виде, аналогичном (9):

$$G_{uu} = g_{\alpha\beta,\gamma\delta\lambda\mu}^{uu}\nabla_{\gamma\delta}^2 u_\alpha \nabla_{\lambda\mu}^2 u_\beta. \quad (10)$$

Аналогично, «смешанный» градиентный член  $G_{su}$ , билинейный по градиентам параметра превращения  $\nabla s$  и по градиентам тензора дисторсии, можно записать в виде, аналогичном (9) и (10):

$$G_{su} = g_{\alpha,\beta\gamma\delta}^{su}\nabla_\beta s \nabla_{\gamma\delta}^2 u_\alpha. \quad (11)$$

Градиентно-деформационные коэффициенты  $g_{\alpha\beta,\gamma\delta\lambda\mu}^{uu}$  и  $g_{\alpha,\beta\gamma\delta}^{su}$  в формулах (10) и (11), так же как и градиентные коэффициенты  $g_{\alpha\beta}^{ss}$  в (9), можно вычислять или оценивать из выражений для матрицы силовых постоянных кристалла на пути

превращения  $\mathbf{A}$ , как обсуждается ниже. Так же, как и в случае коэффициентов  $g_{\alpha\beta}^{ss}$ , эти градиентно-деформационные коэффициенты, вообще говоря, зависят от параметра превращения  $s$ .

Таким образом, в расчетах будет использоваться следующее общее выражение для свободной энергии  $f_{tot}$  в ОФГЛ (1):

$$\begin{aligned} f_{tot} = & f_s(s) + \frac{1}{2}v_{at}c_{\alpha\beta\gamma\delta}(s)[u_{\alpha\beta} - u_{\alpha\beta}^e(s)] \times \\ & \times [u_{\gamma\delta} - u_{\gamma\delta}^e(s)] + g_{\alpha\beta}^{ss}(s)\nabla_\alpha s \nabla_\beta s + \\ & + g_{\alpha,\beta\gamma\delta}^{su}(s)\nabla_\beta s \nabla_{\gamma\delta}^2 u_\alpha + \\ & + g_{\alpha\beta,\gamma\delta\lambda\mu}^{uu}(s)\nabla_{\gamma\delta}^2 u_\alpha \nabla_{\lambda\mu}^2 u_\beta, \end{aligned} \quad (12)$$

где функция  $f_s(s)$  дается выражением (3). Деформации на пути превращения  $u_{\alpha\beta}^e(s)$ , вообще говоря, определяются уравнениями (6)–(8), хотя ниже они будут оцениваться с помощью более простых интерполяций, описываемых в разд. 6.

### 3. ВАРИАЦИОННЫЙ МЕТОД РАСЧЕТА СВОЙСТВ МЕЖФАЗНЫХ ГРАНИЦ МЕЖДУ ДВУМЯ СТАБИЛЬНЫМИ ФАЗАМИ И МЕЖДУ СТАБИЛЬНОЙ И МЕТАСТАБИЛЬНОЙ ФАЗАМИ

В используемом методе ОФГЛ структуру и энергию любых равновесных конфигураций, в частности, равновесных межфазных границ, можно определять из условий минимальности ОФГЛ (1) относительно вариаций параметра превращения  $s(\mathbf{r})$  и локальных смещений  $u_\alpha(\mathbf{r})$ , т. е. из решения системы вариационных уравнений

$$\delta F/\delta s(\mathbf{r}) = 0, \quad \delta F/\delta u_\alpha(\mathbf{r}) = 0 \quad (13)$$

при заданных граничных условиях. Явный вид этих уравнений дается ниже формулами (17)–(21). Для обсуждаемых ниже плоских МФГ, ориентированных нормально заданному направлению  $\mathbf{n}$ , функции  $s(\mathbf{r})$  и компоненты тензора дисторсии  $u_{\alpha,\beta}$  в уравнениях (13) зависят только от одной переменной, расстояния до МФГ  $\xi = \mathbf{n}\mathbf{r}$ , а граничные условия к этим уравнениям соответствуют переходу функций  $s(\xi)$  и  $u_{\alpha,\beta}(\xi)$  при  $\xi \rightarrow -\infty$  в их значения  $s_a$  и  $u_{\alpha,\beta}^a$  для аустенита, а при  $\xi \rightarrow \infty$  — в значения  $s_m$  и  $u_{\alpha,\beta}^m$  для мартенсита.

Поверхностная энергия МФГ  $\sigma$  определяется как отнесенная к единице площади разность между функционалом (1) с этими  $s(\xi)$  и  $u_{\alpha,\beta}(\xi)$  и таким же функционалом с функциями  $s$  и  $u_{\alpha,\beta}$  в состоянии без МФГ. В качестве этого «реперного» состояния без МФГ можно взять, например, однородный

аустенит с  $s = s_a$  и  $u_{\alpha,\beta} = u_{\alpha,\beta}^a$ , или однородный мартенсит с  $s = s_m$  и  $u_{\alpha,\beta} = u_{\alpha,\beta}^m$ , или любую совокупность двух этих фаз, например, аустенита слева от центра МФГ (т. е. при  $\xi < 0$ ) и мартенсита справа от центра МФГ (т. е. при  $\xi > 0$ ):

$$\sigma = \int_{-\infty}^0 \frac{d\xi}{v_{at}} \left\{ f_{tot}[s(\xi), u_{\alpha,\beta}(\xi)] - f_{tot}^a \right\} + \int_0^\infty \frac{d\xi}{v_{at}} \left\{ f_{tot}[s(\xi), u_{\alpha,\beta}(\xi)] - f_{tot}^m \right\}. \quad (14)$$

Поскольку при термодинамическом равновесии между аустенитом и мартенситом соответствующие им свободные энергии  $f_{tot}^a$  и  $f_{tot}^m$  в (1) равны друг другу, любой из таких возможных способов определения реперного состояния без МФГ дает один и тот же результат для  $\sigma$ . Получающиеся при этом уравнения аналогичны рассмотренным, например, в работах [9, 16].

В то же время при рассмотрении МФГ между стабильной и метастабильной фазами (ниже такая граница для краткости называется «метастабильной») использование вариационного подхода становится, вообще говоря, неоднозначным и требует уточнений. Состояние с МФГ, т. е. двухфазное состояние, теперь уже не соответствует минимуму функционала (1), поскольку такой минимум теперь соответствует однородной стабильной фазе, в нашем случае — мартенситу. Таким образом, вариационное исследование свойств метастабильных МФГ (реально возникающих при быстрой закалке в обсуждаемые метастабильные состояния) требует наложения определенных ограничений на вид рассматриваемых вариаций функций  $s(\xi)$  и  $\mathbf{u}(\xi)$ , адекватных структуре таких МФГ. В частности, теперь нужно уточнить определение упомянутого «реперного» состояния без МФГ, чтобы искать функции  $s(\xi)$  и  $\mathbf{u}(\xi)$ , минимизирующие разность свободных энергий состояния с МФГ и этого реперного состояния.

Математически эту задачу можно поставить таким образом. Будем определять поверхностную энергию МФГ соотношением (14), в котором «разделяющую» точку  $\xi = 0$  будем называть центром МФГ. В рассмотренном выше случае равновесных МФГ выбор положения этой точки, т. е. соответствующих ей значений  $s(\xi = 0) = s_0$  и  $u_{\alpha,\beta}(\xi = 0) = u_{\alpha,\beta}^0$ , был несуществен, поскольку значения  $f_{tot}^a$  и  $f_{tot}^m$  в (14) были равны. Но для метастабильных МФГ значения величины  $\sigma$  в (14), вообще говоря, зависят от выбора  $s_0$  и  $u_{\alpha,\beta}^0$ , и ниже мы будем выбирать эти значения из физических соображений. При выбранном

таким образом положении центра МФГ вариационную задачу нахождения функций  $s(\xi)$  и  $\mathbf{u}(\xi)$  будем ставить как задачу минимизации функционала (14) относительно варьирования этих функций при тех же граничных условиях перехода при  $\xi \rightarrow (\pm\infty)$  в аустенит или в мартенсит, что и выше.

Обсудим вопрос о выборе значений  $s_0$  и  $u_{\alpha,\beta}^0$ , соответствующих центру МФГ  $\xi = 0$  в (14). Заметим, во-первых, что на обсуждаемых ниже путях превращений значения компонент тензора дисторсии  $u_{\alpha,\beta}(\xi)$  будут просто выражаться через параметр превращения  $s$ . Поэтому структура МФГ в основном определяется изменением в области МФГ параметра превращения  $s$  и соответствующих ему вкладов  $f_s(s)$  и  $G_{ss}$  в свободную энергию (2). Из формул (3) видно, что функция  $f_s(s)$  имеет два минимума: минимум при  $s = 0$ , соответствующий аустениту, и минимум при  $s = 1$ , соответствующий мартенситу, и эти минимумы разделены потенциальным барьером, который имеет максимум при некотором значении  $s = s_{max}$ . В соответствии с этим термодинамическая движущая сила  $df_s/ds$  (которая определяет, в частности, кинетику релаксации к состоянию равновесия [17]) при  $s < s_{max}$  стимулирует эволюцию системы к состоянию аустенита, а при  $s > s_{max}$  — к состоянию мартенсита. В связи с этим за положение центра МФГ, разделяющего области со структурой типа аустенита и типа мартенсита, наиболее естественным кажется выбрать как раз эту точку максимума функции  $f_s(s)$  в (3), т. е. определять точку  $\xi = 0$  в (14) из соотношений

$$s_0 = s_{max}; \quad (df_s/ds) \Big|_{s=s_{max}} = 0. \quad (15)$$

Ниже показано, что координатные зависимости функций  $s(\xi)$ , минимизирующие функционал (14), в точке  $\xi = 0$  имеют излом, т. е. разность производных  $ds/d\xi$  в этой точке имеет некоторый скачок  $B_\Delta$ , величина которого пропорциональна параметру метастабильности  $\Delta$  в (3) и зависит также от значения  $s_0$ :

$$(ds/d\xi)_+ - (ds/d\xi)_- = B_\Delta(s_0), \quad (16)$$

где нижний индекс «+» или «-» у  $(ds/d\xi)$  указывает предельное значение данной производной при  $\xi \rightarrow (+0)$  или  $\xi \rightarrow (-0)$ . Будет показано, что минимальное значение разрыва  $B_\Delta$  в формуле (16) соответствует выбору значения  $s_0$  либо равному, либо близкому к точке максимума  $s_{max}$  функции  $f_s(s)$  в формуле (3). Такую «максимальную гладкость» получаемых распределений можно считать дополнительным аргументом в пользу выбора положения

центра МФГ  $s_0$  в точке максимума функции  $f_s(s)$ , определяемого равенством (15).

Отметим, однако, что при реалистических значениях параметра метастабильности  $\Delta$ , обсуждаемых ниже, изломы (16) в функциях  $s(\xi)$  (иллюстрируемые ниже, рис. 3) весьма малы, и их наличие несущественно для всех физически значимых характеристик метастабильных МФГ. В реальных же метастабильных МФГ такие изломы отсутствуют вследствие дискретности кристаллической решетки.

#### 4. РЕШЕНИЕ УРАВНЕНИЙ ДЛЯ ПАРАМЕТРА ПРЕВРАЩЕНИЯ И ЛОКАЛЬНЫХ ДЕФОРМАЦИЙ В ОБЛАСТИ МФГ В ПРЕНЕВРЕЖЕНИИ ГРАДИЕНТАМИ ТЕНЗОРА ДИСТОРСИИ

Приведем явный вид вариационных уравнений (13) для ОФГЛ со свободной энергией (12). После стандартных преобразований с использованием интегрирования по частям эти уравнения принимают вид

$$\begin{aligned} \dot{f}_s - 2g_{\alpha\beta}^{ss}\nabla_{\alpha\beta}^2 s - \dot{g}_{\alpha\beta}^{ss}\nabla_\alpha s\nabla_\beta s + \\ + v_{at}\left[\frac{1}{2}\dot{c}_{\alpha\beta\gamma\delta}(u_{\alpha\beta}-u_{\alpha\beta}^e)-c_{\alpha\beta\gamma\delta}\dot{u}_{\alpha\beta}^e\right]\times \\ \times(u_{\gamma\delta}-u_{\gamma\delta}^e)+\left(\dot{g}_{\alpha\beta\gamma\delta}^{su}\nabla_\beta s\nabla_{\gamma\delta}^2 u_\alpha-\right. \\ \left.-g_{\alpha\beta\gamma\delta}^{su}\nabla_{\beta\gamma\delta}^3 u_\alpha\right)+\dot{g}_{\alpha\beta,\gamma\delta\lambda\mu}^{uu}\nabla_{\gamma\lambda}^2 u_\alpha\nabla_{\delta\mu}^2 u_\beta=0, \quad (17) \end{aligned}$$

$$\begin{aligned} \nabla_\beta\left[v_{at}c_{\alpha\beta\gamma\delta}(u_{\gamma\delta}-u_{\gamma\delta}^e)-\right. \\ \left.-\nabla_\gamma(g_{\alpha\beta\gamma\delta}^{su}\nabla_\delta s+2g_{\alpha\delta,\beta\gamma\lambda\mu}^{uu}\nabla_{\lambda\mu}^2 u_\delta)\right]=0, \quad (18) \end{aligned}$$

где точка над функцией от  $s$  означает дифференцирование по  $s$ , например:  $\dot{f}_s = df_s/ds$ .

Ниже мы рассматриваем плоскую МФГ, нормальную единичному вектору  $\mathbf{n}$ , в которой параметр превращения  $s$  и локальные дисторсии  $u_{\alpha\beta}$  зависят только от одной переменной  $\xi = \mathbf{n} \cdot \mathbf{r}$ . Тогда производная любой функции  $\varphi(\xi)$ , где  $\varphi$  есть  $s(\xi)$  или  $u_{\alpha\beta}(\xi)$ , по координате  $x_\alpha$  дается выражением

$$\partial\varphi/\partial x_\alpha = n_\alpha \varphi', \quad (19)$$

где штрих означает дифференцирование по  $\xi$ :  $\varphi' = d\varphi(\xi)/d\xi$ . При решении уравнений (17) и (18) будем использовать граничные условия, описанные в разд. 3, т. е. переход  $s$  и  $u_{\alpha\beta}$  при  $\xi \rightarrow (-\infty)$  в их значения  $s_a$  и  $u_{\alpha\beta}^a$  для аустенита, а при  $\xi \rightarrow \infty$  — в значения для мартенсита, и будем отсчитывать  $s(\xi)$

и  $u_{\alpha\beta}(\xi)$  от их значений в аустените, т. е. считать  $s_a = u_{\alpha\beta}^a = 0$ . Тогда интегрирование уравнения (18) по  $\xi$  показывает, что выражение в квадратных скобках в этом уравнении равно нулю при всех  $\xi$ , и систему уравнений (17) и (18) можно записать в таком виде:

$$\begin{aligned} \dot{f}_s - 2gs'' - \dot{g}(s')^2 + v_{at}\left[\frac{1}{2}\dot{c}_{\alpha\beta\gamma\delta}(u_{\alpha\beta}-u_{\alpha\beta}^e)-\right. \\ \left.-c_{\alpha\beta\gamma\delta}\dot{u}_{\alpha\beta}^e\right](u_{\gamma\delta}-u_{\gamma\delta}^e)+ \\ +\left[\dot{g}_{\alpha\beta}^{su}s'u'_{\alpha\beta}-g_{\alpha\beta}^{su}u''_{\alpha\beta}+\dot{g}_{\alpha\beta\gamma\delta}^{uu}u'_{\alpha\gamma}u'_{\beta\delta}\right]=0, \quad (20) \end{aligned}$$

$$\begin{aligned} v_{at}c_{\alpha\beta\gamma\delta}(u_{\gamma\delta}-u_{\gamma\delta}^e)-\left[\dot{g}_{\alpha\beta}^{su}(s')^2+g_{\alpha\beta}^{su}s''+\right. \\ \left.+2\dot{g}_{\alpha\beta\gamma\delta}^{uu}s'u'_{\delta\gamma}+2g_{\alpha\beta\gamma\delta}^{uu}u''_{\delta\gamma}\right]=0, \quad (21) \end{aligned}$$

где введены сокращенные обозначения

$$\begin{aligned} g=g(\mathbf{n})=g_{\alpha\beta}^{ss}n_\alpha n_\beta, \\ g_{\alpha\beta}^{su}=g_{\alpha\beta}^{su}(\mathbf{n})=g_{\alpha\beta\gamma\delta}^{su}n_\gamma n_\delta, \\ g_{\alpha\beta\gamma\delta}^{uu}=g_{\alpha\beta\gamma\delta}^{uu}(\mathbf{n})=g_{\alpha\beta\gamma\lambda\mu}^{uu}n_\lambda n_\mu. \end{aligned} \quad (22)$$

Отметим, что выполненное в (21) формальное интегрирование уравнения (18) на основе равенства (19) подразумевает, что мы не рассматриваем дальнодействующие слабонеоднородные упругие напряжения, связанные с несоответствием кристаллических решеток. В действительности, такие напряжения отсутствуют только в том случае, когда плоскость МФГ при фазовом превращении остается инвариантной, см., например, [18]. Однако влияние этих слабонеоднородных напряжений можно описывать стандартными методами теории упругости [18], в настоящей же работе исследуются неоднородные упругие напряжения, присутствующие только в области МФГ. Полное рассмотрение как неоднородных, так и слабонеоднородных упругих эффектов для более реалистической задачи о включении мартенсита в аустените будет дано в другой работе.

Уравнения (20) и (21) являются системой обыкновенных дифференциальных уравнений для функций  $s(\xi)$  и  $u_{\alpha\beta}(\xi)$ , которую в принципе можно решать численными методами. В то же время в работе [7] и выше отмечено, что значения дисторсий  $u_{\alpha\beta}$ , т. е. деформаций  $u_{\alpha\beta}$  и поворотов  $\varepsilon_{\alpha\beta}$ , при рассматриваемых мартенситных превращениях малы, и, кроме того, все градиентные члены в используемом методе ОФГЛ предполагаются малыми сравнительно с неградиентными. Поэтому слагаемые в последних квадратных скобках в уравнениях (20),

(21) (которые в свободной энергии (2) соответствуют членам  $G_{su}$  и  $G_{uu}$ , содержащим градиенты тензора дисторсии) следует считать малыми поправками к первым членам этих уравнений. Тогда в нулевом приближении по градиентам деформаций и поворотов эти поправочные члены можно опускать. При этом уравнение (21) показывает, что в этом нулевом приближении локальная деформация  $u_{\alpha\beta}$  полностью определяется локальным значением параметра фононных смещений  $s = s(\xi)$ :  $u_{\alpha\beta}(\xi) = u_{\alpha\beta}^e(s)$ . Значения локальных поворотов  $\varepsilon_{\alpha\beta}(s)$  в этом нулевом приближении можно находить, используя интерполяции, аналогичные использованным в формуле (8), как описывается в разд. 6.3. Вклады же слагаемых в последних квадратных скобках в уравнения (20) и (21) будем находить по теории возмущений, как описывается в разд. 6.4, используя в этих слагаемых выражения для дисторсии  $u_{\alpha\beta}$ , найденные в описанном выше нулевом приближении.

После отбрасывания в уравнениях (20) и (21) слагаемых в последних квадратных скобках уравнение (21) дает для деформаций «локально равновесное» решение, описываемое формулой (6):

$$u_{\alpha\beta}(\xi) = u_{\alpha\beta}^e(s). \quad (23)$$

При подстановке этого выражения для  $u_{\gamma\delta}$  в последнее слагаемое первой строчки уравнения (20) это слагаемое обращается в нуль. Поэтому для нахождения функции  $s(\xi)$  получается простое уравнение, соответствующее наличию в уравнении (20) только трех первых членов:

$$2g \frac{d^2s}{d\xi^2} + \frac{dg}{ds} \left( \frac{ds}{d\xi} \right)^2 - \frac{df_s}{ds} = 0. \quad (24)$$

Если все члены этого уравнения умножить на  $ds/d\xi$ , то его левая часть примет вид полной производной по  $\xi$ , и интегрирование по  $\xi$  позволяет явно выразить производную  $ds/d\xi$  через параметр превращения  $s$ :

$$\begin{aligned} \frac{d}{d\xi} \left[ g \left( \frac{ds}{d\xi} \right)^2 - f(s) \right] &= 0, \\ g \left( \frac{ds}{d\xi} \right)^2 &= f(s) + C, \end{aligned} \quad (25)$$

где произвольная постоянная  $C$  определяется из граничных условий.

Как обсуждалось в разд. 3, решение вариационной задачи о минимуме поверхностной энергии (14) дается функциями  $s(\xi)$ , которые в областях ( $\xi < 0$ ,  $s < s_0$ ) и ( $\xi > 0$ ,  $s > s_0$ ) являются, вообще говоря,

разными. Эту функцию в первой области мы будем обозначать как  $s_-(\xi)$ , а во второй — как  $s_+(\xi)$ , и граничные условия для них имеют, соответственно, такой вид:

$$\begin{aligned} \xi \rightarrow (-\infty) : \quad s_- &\rightarrow 0, \quad ds_-/d\xi \rightarrow 0; \\ \xi \rightarrow \infty : \quad s_+ &\rightarrow 1, \quad ds_+/d\xi \rightarrow 0. \end{aligned} \quad (26)$$

Для того чтобы эти граничные условия выполнялись, постоянную  $C$  в формуле (25) для  $s_-(\xi)$  нужно положить равной нулю, а для  $s_+(\xi)$  — равной  $[-f(1)] = \Delta$ . Это дает следующие выражения для производных  $ds/d\xi$  в (25):

$$\begin{aligned} ds_-/d\xi &= \sqrt{f(s)/g(s)}; \\ ds_+/d\xi &= \sqrt{f_+(s)/g(s)}, \quad f_+(s) = f(s) + \Delta. \end{aligned} \quad (27)$$

Уравнения (27) позволяют выписать координатные зависимости  $s_-(\xi)$  и  $s_+(\xi)$  в виде соотношений для обратных функций  $\xi(s)$ :

$$\begin{aligned} \xi < 0, s < s_0 : \quad \xi &= \int_{s_0}^s du \sqrt{g(u)/f(u)}, \\ \xi > 0, s > s_0 : \quad \xi &= \int_{s_0}^s du \sqrt{g(u)/f_+(u)}. \end{aligned} \quad (28)$$

Эти соотношения позволяют дать явное выражение для ширины МФГ  $w$ . Так, если определять эту ширину как интервал координат  $\xi$ , в котором параметр превращения  $s$  меняется от некоторого малого значения  $s_{min}$  до некоторого  $s_{max}$ , близкого к единице (например, от  $s_{min} = 0.1$  до  $s_{max} = 0.9$ ), то из уравнений (28) имеем

$$w = \int_{s_{min}}^{s_0} du \sqrt{g(u)/f(u)} + \int_{s_0}^{s_{max}} du \sqrt{g(u)/f_+(u)}. \quad (29)$$

Скачок производных  $ds/d\xi$  в точке ( $\xi = 0$ ,  $s = s_0$ ), определенный равенством (16), согласно уравнениям (27), дается выражением

$$\begin{aligned} \left( \frac{ds_+}{d\xi} - \frac{ds_-}{d\xi} \right)_{\xi=0} &= B_\Delta(s_0) = \\ &= \frac{\sqrt{f_+(s_0)} - \sqrt{f(s_0)}}{\sqrt{g(s_0)}}. \end{aligned} \quad (30)$$

Зависимости  $g$  от  $s$ , как показано ниже, являются намного менее резкими, чем для  $f_s(s)$ . Поэтому из уравнения (30) видно, что минимальное относительное выбора  $s_0$  значение скачка производных при  $\xi = 0$

(которое соответствует обращению в нуль производной по  $s_0$  от правой части уравнения (30)) достигается вблизи точки максимума функции  $f_s$ , определяемой равенством (15).

Используя уравнения (27), мы можем также выразить дифференциал  $d\xi$  в интегралах (14) через  $ds_+$  и  $ds_-$  и записать выражение (14) для поверхностной энергии МФГ  $\sigma$  в виде явного интеграла по параметру превращения  $s$ :

$$\sigma = \frac{2}{v_{at}} \left[ \int_0^{s_0} ds \sqrt{g(s)f(s)} + \int_{s_0}^1 ds \sqrt{g(s)f_+(s)} \right]. \quad (31)$$

Исследуем соотношения (28)–(31) в разных предельных случаях. Обсудим сначала зависимость параметра порядка  $s$  от координаты  $\xi$  вдали от МФГ, т. е. при больших  $|\xi|$  и малых  $s$  или  $(1-s)$ . Учитывая, что функция  $f(s)$  или  $f_+(s)$  в подынтегральных выражениях в (28) при этом стремится к нулю как, соответственно,  $s^2$  или  $(1-s)^2$ , получаем такие зависимости:

$$\begin{aligned} s_-(\xi) &= s_-^0 \exp(\xi/w_a) = s_-^0 \exp(-|\xi|/w_a), \\ 1 - s_+(\xi) &= s_+^0 \exp(-\xi/w_m). \end{aligned} \quad (32)$$

Здесь предэкспонциальные множители  $s_-^0$  и  $s_+^0$  имеют порядок величины  $s_0$ , а  $w_a$  и  $w_m$  — характерные длины убывания разности  $s-s_a=s$  или  $s_m-s=1-s$  при удалении от МФГ в глубь аустенита или мартенсита. Эти длины выражаются через константы  $c_a$  и  $c_m$  в формуле (3) и предельные значения градиентного коэффициента  $g(\mathbf{n}, s)$  в формуле (22),  $g_a = g(\mathbf{n}, s=0)$  и  $g_m = g(\mathbf{n}, s=1)$ , таким образом:

$$w_a = (2g_a/c_a)^{1/2}, \quad w_m = (2g_m/c_m)^{1/2}. \quad (33)$$

Для иллюстрации вида зависимостей, описываемых формулами (29) и (31), рассмотрим еще частный случай, когда градиентный коэффициент  $g$  не зависит от  $s$ , а параметр  $\Delta$  в формуле (3) равен нулю (т. е. ГЦК- и ОЦК-фазы находятся в равновесии). Тогда все интегралы в формулах (29) и (31) берутся аналитически, и для ширины МФГ  $w$  и ее поверхностной энергии  $\sigma$  имеем

$$\begin{aligned} w &= \sqrt{2g} \left[ \frac{1}{\sqrt{c_a}} \ln \frac{s_{max}}{s_{min}} + \frac{1}{\sqrt{c_m}} \ln \frac{1-s_{min}}{1-s_{max}} + \right. \\ &\quad + \frac{2}{\sqrt{c_a}} \ln \frac{\sqrt{c_a} + \sqrt{c_a + (c_m - c_a)s_{min}}}{\sqrt{c_a} + \sqrt{c_a + (c_m - c_a)s_{max}}} - \\ &\quad \left. - \frac{2}{\sqrt{c_m}} \ln \frac{\sqrt{c_m} + \sqrt{c_a + (c_m - c_a)s_{max}}}{\sqrt{c_m} + \sqrt{c_a + (c_m - c_a)s_{min}}} \right]; \\ \sigma &= \frac{8}{35v_{at}} \frac{\sqrt{g}}{(\sqrt{c_a} + \sqrt{c_m})^3} \times \\ &\quad \times \left[ (\sqrt{c_a} + \sqrt{c_m})^2 (c_a + \sqrt{c_a c_m} + c_m) - \frac{c_a c_m}{3} \right]. \end{aligned} \quad (34)$$

Для количественных расчетов характеристик МФГ по формулам (28)–(31) нужны расчеты или оценки параметров  $c_a$  и  $c_m$  в выражении (3) для  $f_s$ , а также тензоров  $\mathbf{g}^{ss}$ ,  $\mathbf{g}^{su}$  и  $\mathbf{g}^{uu}$ , входящих в выражение (3) для  $f_{tot}$ . Эти расчеты и оценки описываются ниже в разд. 5 и 6.

## 5. РАСЧЕТ КОНСТАНТ $c_a$ И $c_m$ В ВЫРАЖЕНИИ (3) ДЛЯ $f_s$

### 5.1. Смещения атомов на рассматриваемых путях превращения

Описываемые ниже расчеты основаны на общих выражениях для смещений атомов на рассматриваемых путях превращения, подробно обсуждавшихся в работах [6, 7]. Приведем необходимые соотношения из этих работ.

Для краткости называем ГЦК-структуру (аустенит) фазой  $\gamma$ , а ОЦК-структуру (мартенсит) — фазой  $\alpha$ . Полное смещение атомов в плотноупакованной плоскости  $m$  кристалла, соответствующего рассматриваемому пути превращения  $\gamma \rightarrow \alpha$  и содержащего шесть атомов в элементарной ячейке, обозначаем  $\mathbf{p}_m$ , так что номер  $m$  меняется от 1 до 6. Поскольку центр тяжести этой элементарной ячейки при превращении не смещается, сумма векторов  $\mathbf{p}_m$  по ячейке равна нулю:

$$\sum_{m=1}^6 \mathbf{p}_m = 0. \quad (35)$$

Амплитуду относительных смещений (или тасования) плотноупакованных плоскостей на пути превращения обозначаем  $s$ , так что смещение каждого атома в плоскости  $m$  равно  $s\mathbf{p}_m$ , а значение  $s$  в ходе превращения меняется от нуля до единицы. Эти смещения можно описывать с помощью «оператора фононных смещений»  $\hat{T}(s) \equiv \hat{T}_s$ , определяя действие

$\hat{T}_s$  на вектор  $\mathbf{R}_m$   $m$ -й подрешетки (плотноупакованной плоскости) рассматриваемых кристаллов соотношением [6, ф. (3); 7, ф. (1)]

$$\hat{T}_s \mathbf{R}_m = \mathbf{R}_m + s\mathbf{p}_m. \quad (36)$$

Деформации однородных растяжений или сжатий  $u_\nu$  вдоль трех декартовых осей  $\nu$  удобно определять соотношениями [6, ф. (1); 7, ф. (2)]

$$x_\nu(u_\nu) = x_\nu(0) \exp(u_\nu), \quad (37)$$

которые можно использовать как при малых, так и при немалых деформациях  $u_\nu$ . При этом объемная деформация  $u$  (изменение которой  $du$  связано с изменением объема кристалла  $\Omega$  соотношением  $du = d\Omega/\Omega$ ) выражается через величины  $u_\nu$  так же, как и в случае малых деформаций:

$$u = u_1 + u_2 + u_3. \quad (38)$$

Результат действия на векторы решетки  $\mathbf{R} = (x, y, z)$  растяжений  $u_\nu$ , по аналогии с соотношением (36), удобно записывать с помощью операторов растяжений  $\hat{T}(u_\nu) \equiv \hat{T}_\nu$ , определяемых равенством (37), например,

$$\hat{T}_2 \mathbf{R} = (x, e^{u_2} y, z). \quad (39)$$

Тогда полное значение вектора решетки  $\mathbf{R}'_m = \mathbf{R}'_m(s, u_\nu)$  на пути превращения можно выразить через его исходное значение  $\mathbf{R}_m$  таким образом:

$$\mathbf{R}'_m = \hat{T}_{123} \hat{T}_s \mathbf{R}_m = \hat{T}_{123} \mathbf{R}_m + s\tilde{\mathbf{p}}_m, \quad (40)$$

где для краткости обозначено  $\hat{T}_{123} = \hat{T}_{123}\{u_\nu\} = \hat{T}_1 \hat{T}_2 \hat{T}_3$  и  $\tilde{\mathbf{p}}_m = \hat{T}_{123} \mathbf{p}_m$ .

Положения атомов на пути превращения удобно описывать с помощью двух троек эквивалентных векторов,  $\mathbf{b}_s$  и  $\mathbf{d}_s$ , лежащих в плотноупакованных атомных плоскостях, и вектора  $\mathbf{h}$ , нормального к этим плоскостям, который описывает относительное смещение двух таких соседних плоскостей. Векторы  $\mathbf{b}_1$ ,  $\mathbf{b}_2$  и  $\mathbf{b}_3 = -(\mathbf{b}_1 + \mathbf{b}_2)$  имеют смысл трех эквивалентных периодов в плотноупакованной плоскости (111) ГЦК-решетки; векторы  $\mathbf{d}_s$  определены равенствами

$$\mathbf{d}_s = (\mathbf{b}_{s+1} - \mathbf{b}_{s+2})/3, \quad \mathbf{b}_s = \mathbf{d}_{s+2} - \mathbf{d}_{s+1}, \quad (41)$$

а индекс « $s$ » у векторов  $\mathbf{b}_s$  и  $\mathbf{d}_s$  определен по модулю 3:  $s + 2 = s - 1$ . При этом периоды кубической элементарной ячейки ГЦК-решетки,  $\mathbf{a}_1^\gamma$ ,  $\mathbf{a}_2^\gamma$  и  $\mathbf{a}_3^\gamma$ , связаны со введенными выше векторами  $\mathbf{b}_s$ ,  $\mathbf{d}_s$  и  $\mathbf{h}$  так:

$$\begin{aligned} \mathbf{b}_1 &= \frac{1}{2} (\mathbf{a}_3^\gamma - \mathbf{a}_2^\gamma), & \mathbf{b}_2 &= \frac{1}{2} (\mathbf{a}_1^\gamma - \mathbf{a}_3^\gamma), \\ \mathbf{b}_3 &= \frac{1}{2} (\mathbf{a}_2^\gamma - \mathbf{a}_1^\gamma), & \mathbf{h} &= \frac{1}{3} (\mathbf{a}_1^\gamma + \mathbf{a}_2^\gamma + \mathbf{a}_3^\gamma), \\ \mathbf{a}_1^\gamma &= \mathbf{h} + 2\mathbf{d}_1, & \mathbf{a}_2^\gamma &= \mathbf{h} + 2\mathbf{d}_2, & \mathbf{a}_3^\gamma &= \mathbf{h} + 2\mathbf{d}_3, \end{aligned} \quad (42)$$

а скалярные произведения векторов  $\mathbf{b}_s$  и  $\mathbf{d}_s$  друг на друга даются соотношениями

$$\begin{aligned} \mathbf{b}_s \cdot \mathbf{b}_{s\pm 1} &= -b^2/2, & \mathbf{d}_s \cdot \mathbf{d}_{s\pm 1} &= -d^2/3, \\ \mathbf{b}_s \cdot \mathbf{d}_s &= 0, & \mathbf{d}_s \cdot \mathbf{b}_{s\pm 1} &= \pm b^2/2. \end{aligned} \quad (43)$$

Здесь  $b = |\mathbf{b}_s| = a_\gamma/\sqrt{2}$  есть расстояние между ближайшими соседями в ГЦК-решетке,  $a_\gamma = |\mathbf{a}_s^\gamma|$ ,  $d = b/\sqrt{3}$ .

Отметим, что согласно равенствам (43), векторы  $\mathbf{b}_s$  и  $\mathbf{d}_s$  взаимно ортогональны. Поэтому тройка единичных векторов

$$\begin{aligned} \mathbf{e}_x &= \mathbf{b}_1/b = (0\bar{1}\bar{1})/\sqrt{2}, \\ \mathbf{e}_y &= \mathbf{d}_1/d = (2\bar{1}\bar{1})/\sqrt{6}, \\ \mathbf{e}_z &= \mathbf{h}/h = (111)/\sqrt{3} \end{aligned} \quad (44)$$

ниже будет использоваться в качестве базиса декартовой системы координат, удобной для описания рассматриваемых структур. Отметим, что полные деформации при переходе  $\gamma \rightarrow \alpha$ :  $u_1 = u_{xx}$ ,  $u_2 = u_{yy}$  и  $u_3 = u_{zz}$ , в этой системе координат, согласно формулам (34) из работы [6] или (18) из работы [7], имеют такие значения:

$$\begin{aligned} u_1^{\gamma \rightarrow \alpha} &= \frac{u}{3} + \frac{1}{6} \ln 2 \approx 0.125, \\ u_2^{\gamma \rightarrow \alpha} &= \frac{u}{3} - \frac{1}{6} \ln \frac{27}{16} \approx -0.078, \\ u_3^{\gamma \rightarrow \alpha} &= \frac{u}{3} - \frac{1}{6} \ln \frac{32}{27} \approx -0.019, \end{aligned} \quad (45)$$

где численные значения (приводимые для иллюстрации) соответствуют переходу  $\gamma \rightarrow \alpha$  в железе, для которого  $u = \ln(\Omega_\alpha/\Omega_\gamma) \approx 0.027$ .

В работах [6, 7] рассматривались три возможных пути превращения  $\gamma \rightarrow \alpha$  (точнее, пути  $\gamma \rightarrow \lambda$  в структуру  $\lambda$ , отличающуюся от  $\alpha$ -фазы только растяжениями  $u_\nu$ ). Эти пути превращений нумеровались номером  $n$ , равным 1, 2 или 3, и выражения для смещений атомов на этих путях превращения через векторы  $\mathbf{p}_m$  в формулах (36) или (40) даны в табл. 3 из работы [6] и в табл. 1 из работы [7].

В табл. 1 настоящей работы приводятся явные выражения для векторов полных смещений  $\mathbf{p}_m$  на путях превращения  $(\gamma \rightarrow \alpha)1$  и  $(\gamma \rightarrow \alpha)2$  через векторы  $\mathbf{b}_1$  и  $\mathbf{d}_1$  в формулах (41)–(43). Для пути  $(\gamma \rightarrow \alpha)3$  все эти выражения отличаются от выражений для

**Таблица 1.** Значения векторов  $\mathbf{p}_m$  в формуле (36), а также векторов  $\tilde{\mathbf{p}}_m$  в формуле (40) при значениях полных деформаций  $u_\nu = u_\nu^{\gamma \rightarrow \alpha}$  из (45)

| Путь превращения               | $\mathbf{p}_1$                                       | $\mathbf{p}_2$                                       | $\mathbf{p}_3$                                       | $\mathbf{p}_4$                                      | $\mathbf{p}_5$                                       | $\mathbf{p}_6$                                       |
|--------------------------------|--|--|--|---|--|--|
| $(\gamma \rightarrow \alpha)1$ | $-\frac{1}{6}\mathbf{b}_1 - \frac{1}{4}\mathbf{d}_1$ | $-\frac{1}{6}\mathbf{b}_1 + \frac{1}{4}\mathbf{d}_1$ | $-\frac{1}{6}\mathbf{b}_1 + \frac{3}{4}\mathbf{d}_1$ | $\frac{1}{3}\mathbf{b}_1 - \frac{1}{4}\mathbf{d}_1$ | $\frac{1}{3}\mathbf{b}_1 + \frac{1}{4}\mathbf{d}_1$  | $-\frac{1}{6}\mathbf{b}_1 - \frac{3}{4}\mathbf{d}_1$ |
| $(\gamma \rightarrow \alpha)2$ | $\frac{1}{4}\mathbf{b}_1$                            | $\frac{1}{4}\mathbf{b}_1 + \frac{1}{2}\mathbf{d}_1$  | $-\frac{1}{4}\mathbf{b}_1 - \frac{1}{2}\mathbf{d}_1$ | $-\frac{1}{4}\mathbf{b}_1$                          | $-\frac{1}{4}\mathbf{b}_1 + \frac{1}{2}\mathbf{d}_1$ | $\frac{1}{4}\mathbf{b}_1 - \frac{1}{2}\mathbf{d}_1$  |
| Путь превращения               | $\tilde{\mathbf{p}}_1$                               | $\tilde{\mathbf{p}}_2$                               | $\tilde{\mathbf{p}}_3$                               | $\tilde{\mathbf{p}}_4$                              | $\tilde{\mathbf{p}}_5$                               | $\tilde{\mathbf{p}}_6$                               |
| $(\gamma \rightarrow \alpha)1$ | $-\frac{1}{6}\mathbf{a} - \frac{1}{6}\mathbf{g}$     | $-\frac{1}{6}\mathbf{a} + \frac{1}{6}\mathbf{g}$     | $-\frac{1}{6}\mathbf{a} + \frac{1}{2}\mathbf{g}$     | $\frac{1}{3}\mathbf{a} - \frac{1}{6}\mathbf{g}$     | $\frac{1}{3}\mathbf{a} + \frac{1}{6}\mathbf{g}$      | $-\frac{1}{6}\mathbf{a} - \frac{1}{2}\mathbf{g}$     |
| $(\gamma \rightarrow \alpha)2$ | $\frac{1}{4}\mathbf{a}$                              | $\frac{1}{4}\mathbf{a} + \frac{1}{3}\mathbf{g}$      | $-\frac{1}{4}\mathbf{a} - \frac{1}{3}\mathbf{g}$     | $-\frac{1}{4}\mathbf{a}$                            | $-\frac{1}{4}\mathbf{a} + \frac{1}{3}\mathbf{g}$     | $\frac{1}{4}\mathbf{a} - \frac{1}{3}\mathbf{g}$      |

пути  $(\gamma \rightarrow \alpha)2$  только заменой вектора  $\mathbf{b}_1$  на  $(-\mathbf{b}_1)$ , т. е. отражением в плоскости, нормальной вектору  $\mathbf{b}_1$ . Таким образом, два этих пути превращения полностью эквивалентны (что предполагалось, но не было доказано в работе [7]), и ниже путь  $(\gamma \rightarrow \alpha)3$  не обсуждается. Кроме того, в табл. 1 мы приводим выражения векторов  $\tilde{\mathbf{p}}_m$  в формуле (40) при значениях полных деформаций  $u_\nu = u_\nu^{\gamma \rightarrow \alpha}$  из (45) через векторы  $\mathbf{a}$  и  $\mathbf{g}$ , определенные ниже равенствами (57). В следующем разделе все эти выражения будут использоваться для расчетов констант  $c_a$  и  $c_m$  в формуле (3) для  $f_s$ .

## 5.2. Выражения для констант $c_a$ и $c_m$ в формуле (3) через матрицы силовых постоянных в ГЦК- и ОЦК-железе

Значения констант  $c_a$  или  $c_m$  в формуле (3) определяют изменения энергии кристалла при малых смещениях атомов из положений равновесия в ГЦК-фазе, что соответствует области малых  $s$ , или из положений равновесия в ОЦК-фазе, что соответствует области малых  $(1-s)$ . Поэтому каждую из этих констант можно выразить через матрицы силовых постоянных ГЦК- или ОЦК-железа, определенные в экспериментах [12–14], если использовать следующие соображения.

Изменение энергии кристалла  $U$  при произвольных малых смещениях атомов из положений равнот-

весия  $\mathbf{u}_\mathbf{r}$  выражается через матрицы силовых постоянных  $A^{\alpha\beta}(\mathbf{r} - \mathbf{r}')$  в этом кристалле таким образом:

$$\delta U = \frac{1}{2} \sum_{\mathbf{r}, \mathbf{r}'} A^{\alpha\beta}(\mathbf{r} - \mathbf{r}') u_\mathbf{r}^\alpha u_{\mathbf{r}'}^\beta. \quad (46)$$

Обсудим сначала расчет константы  $c_a$ , описывающей изменения энергии при малых отклонениях от структуры аустенита. Согласно определению (3), эта константа равна второй производной энергии кристалла на один атом  $E(s) = U/N$  по  $s$  при  $s \rightarrow 0$ :

$$c_a = (\partial^2 E / \partial s^2)_{s=0}. \quad (47)$$

Смещения атомов  $\mathbf{u}_\mathbf{r}$  на рассматриваемых путях превращения пропорциональны параметру  $s$ , и в отсутствие деформаций эти смещения для всех атомов в каждой плотноупакованной плоскости  $m$ , согласно соотношениям (36) или (40), равны

$$\mathbf{u}_\mathbf{r} = s \mathbf{p}_m. \quad (48)$$

Поэтому константу  $c_a$  в (47) можно найти, подставляя выражения (48) в формулы (46) и (47) и относя полученную энергию  $U$  к одному атому кристалла. Это дает следующее общее выражение для  $c_a$ :

$$c_a = \frac{1}{N} \sum_{\mathbf{r}, \mathbf{r}'} p_\mathbf{r}^\alpha A^{\alpha\beta}(\mathbf{r} - \mathbf{r}') p_{\mathbf{r}'}^\beta = \\ = \frac{1}{6} \sum_{m, l=1}^6 \sum_{n=0}^{n_{max}} \sum_q p_m^\alpha A^{\alpha\beta}(\mathbf{R}_{nq}) p_l^\beta. \quad (49)$$

Здесь функция  $\mathbf{p}_r$  имеет постоянное значение  $\mathbf{p}_m$  на каждой  $m$ -й плотноупакованной плоскости, т. е. на плоскости, определяемой уравнением  $\mathbf{r} \cdot \mathbf{e}_z = (6k + m)h$ , с  $\mathbf{e}_z$  из (44) и целым  $k$ ;  $n$  — номер рассматриваемой координационной сферы;  $n_{max}$  — номер последней из учитываемых координационных сфер; и  $\mathbf{R}_{nq} = (\mathbf{r}'_l - \mathbf{r}_m)$  —  $q$ -й вектор решетки, принадлежащий координационной сфере  $n$  и соединяющий узел  $\mathbf{r}'_l$  с узлом  $\mathbf{r}_m$ . Подчеркнем, что в каждой координационной сфере лишь небольшое количество узлов может принадлежать  $m$ -й плотноупакованной плоскости при условии, что центральный атом принадлежит  $l$ -й плоскости, поэтому сумма по  $q$  учитывает не все векторы  $\mathbf{R}_{nq}$ , принадлежащие координационной сфере  $n$ .

Выражение (49) также можно записать в следующей форме, удобной для практических вычислений:

$$c_a = \frac{1}{6} \sum_{m=1}^6 \sum_{n=0}^{n_{max}} \sum_q p_m^\alpha A^{\alpha\beta}(\mathbf{R}_{nq}) p_{m+k_{nq}}^\beta. \quad (50)$$

Здесь сумма по  $q$  включает все векторы  $\mathbf{R}_{nq}$ , принадлежащие координационной сфере  $n$ ; и  $k_{nq}$  определяет номер плотноупакованной плоскости, которой принадлежит атом с радиус-вектором  $\mathbf{R}_{nq}$  (где нулевой считается плоскость, содержащая  $\mathbf{R} = 0$ ; тогда это число можно вычислить по формуле  $k_{nq} = \mathbf{R}_{nq}\mathbf{h}/h^2$ ), причем сумма  $m + k_{nq}$  в (50) определена по модулю 6:

$$m + k_{nq} + 6 = m + k_{nq}.$$

В аналогичной форме можно записать все встречающиеся ниже выражения, включающие двойную сумму по номерам плотноупакованных плоскостей  $m$  и  $l$ , например, такие как (56) и (74).

Выражения для матриц силовых постоянных  $A^{\alpha\beta}(\mathbf{R}_{nq})$  (ниже для краткости обозначаемых как  $A_{nq}^{\alpha\beta}$ ) в ОЦК- и ГЦК-кристаллах обсуждались в работе [6], и для  $n \neq 0$  они даются первыми четырьмя слагаемыми формулы (58) из работы [6]:

$$A_{nq}^{\alpha\beta} = a_n n_q^\alpha n_q^\beta + b_n \delta_{\alpha\beta} + c_n T^{\alpha\beta\gamma\delta} n_q^\gamma n_q^\delta + d_n \left( T^{\alpha\gamma\delta\varepsilon} n_q^\beta + T^{\beta\gamma\delta\varepsilon} n_q^\alpha \right) n_q^\gamma n_q^\delta n_q^\varepsilon. \quad (51)$$

При написании этого выражения опущены два последних слагаемых в общей формуле (58) из работы [6], поскольку они (как отмечалось в [6]) не используются в приложениях, в частности, в работах [12–14]. В формуле (51)  $\mathbf{n}_q = \mathbf{R}_{nq}/R_{nq}$  есть единичный вектор в направлении  $\mathbf{R}_{nq}$ , а скалярные величины  $a_n, b_n, c_n$  и  $d_n$  являются параметрами Борна–Кармана. Тензор  $T^{\alpha\beta\gamma\delta}$  описывает влияние на

матрицы силовых постоянных эффектов кристаллической анизотропии (т. е. непарных многочастичных взаимодействий), и он выражается через орты главных осей  $i$  ОЦК- или ГЦК-кристалла, обозначаемые ниже как  $\mathbf{e}_{ci}$  (чтобы отличать их от единичных векторов  $\mathbf{e}_{x,y,z}$  в соотношениях (44)), таким образом:

$$T^{\alpha\beta\gamma\delta} = \sum_{i=1}^3 e_{ci}^\alpha e_{ci}^\beta e_{ci}^\gamma e_{ci}^\delta - \left\langle \sum_{i=1}^3 e_{ci}^\alpha e_{ci}^\beta e_{ci}^\gamma e_{ci}^\delta \right\rangle. \quad (52)$$

Второе слагаемое в формуле (52) соответствует усреднению по всем ориентациям кристалла. Его вычитание позволяет выделить «собственно анизотропные» вклады в  $A_{nq}^{\alpha\beta}$ , а само это среднее просто выражается через символы Кронекера  $\delta_{\alpha\beta}$ :

$$\begin{aligned} \left\langle \sum_{i=1}^3 e_{ci}^\alpha e_{ci}^\beta e_{ci}^\gamma e_{ci}^\delta \right\rangle &= \\ &= \frac{1}{5} \left( \delta_{\alpha\beta} \delta_{\gamma\delta} + \delta_{\alpha\gamma} \delta_{\beta\delta} + \delta_{\alpha\delta} \delta_{\beta\gamma} \right). \end{aligned} \quad (53)$$

Выражение (51) использует ковариантную форму записи матриц  $\mathbf{A}_{nq}$ , не связанную с выбором системы координат, что удобно при использовании одновременного рассмотрения разных кристаллических структур. Связь этих матриц с «нековариантными» параметрами Борна–Кармана  $\alpha_n - \delta_n$ , используемыми в экспериментальных исследованиях фононов, указана в Приложении А.1, а значения параметров  $a_n - d_n$  в выражениях (51) для ГЦК- и ОЦК-железа, соответствующие значениям  $\alpha_n - \delta_n$  из работ [12–14], приводятся ниже в табл. 9.

Матрица  $A_0^{\alpha\beta}$ , описывающая вклад в энергию  $\delta U$  в (46) смещений  $\mathbf{u}_r$  и  $\mathbf{u}_{r'}$  в одном и том же узле решетки, т. е. при  $\mathbf{R} = \mathbf{r}' - \mathbf{r} = 0$ , определяется из условия неизменности энергии кристалла при однородном смещении всех атомов [19], т. е. из соотношения

$$\sum_{n=0}^{n_{max}} \sum_q A_{nq}^{\alpha\beta} = 0, \quad A_0^{\alpha\beta} = - \sum_{n=1}^{n_{max}} \sum_q A_{nq}^{\alpha\beta}. \quad (54)$$

Таким образом, расчет константы  $c_a$  в (50) для каждого пути превращения сводится к алгебраическому суммированию с использованием векторов  $\mathbf{p}_m$  из табл. 1 и значений параметров Борна–Кармана  $a_n - d_n$  в выражениях (51) из табл. 9 для ГЦК-железа.

Обсудим теперь вычисление константы  $c_m$  в (3). При расчете этой константы из выражения (46) для изменения энергии при малых смещениях атомов относительно их равновесных положений в ОЦК-фазе

нужно учесть, что эти равновесные положения соответствуют наличию деформаций растяжения исходной ГЦК-фазы, иллюстрируемых рис. 1б из работы [7] и даваемых формулами (45). Поэтому, согласно формуле (40), в выражении (46) связь смещения  $\mathbf{u}_r$  в плотноупакованной плоскости  $m$  с изменением параметра  $s$  теперь, вместо (48), дается соотношением

$$\mathbf{u}_r = (1 - s)\tilde{\mathbf{p}}_m, \quad (55)$$

где  $\tilde{\mathbf{p}}_m = \hat{T}_{123}\mathbf{p}_m$  — вектор, получаемый из  $\mathbf{p}_m$  упомянутыми деформациями растяжений. Таким образом, общее выражение для  $c_m$  вполне аналогично выражению (49) для  $c_a$ , т. е. имеет вид

$$c_m = \frac{1}{6} \sum_{m,l=1}^6 \sum_{n=0}^{n_{max}} \sum_q \tilde{p}_m^\alpha A_{nq}^{\alpha\beta} \tilde{p}_l^\beta, \quad (56)$$

только матрицы  $A_{nq}^{\alpha\beta}$  в (56) соответствуют ОЦК-фазе.

Явные выражения для векторов  $\tilde{\mathbf{p}}_m$  получаются заменой в выражениях для  $\mathbf{p}_m$  во второй или третьей строке табл. 1 вектора  $\mathbf{b}_1$  на  $\tilde{\mathbf{b}}_1$ , а  $\mathbf{d}_1$  на  $\tilde{\mathbf{d}}_1$ . Эти «деформированные» векторы удобно выражать через периоды ОЦК-решетки  $\mathbf{a}_{1\alpha}$ ,  $\mathbf{a}_{2\alpha}$  и  $\mathbf{a}_{3\alpha}$ , вводя также сокращенные обозначения:

$$\tilde{\mathbf{b}}_1 = \mathbf{a}, \quad \tilde{\mathbf{d}}_1 = 2\mathbf{g}/3. \quad (57)$$

Тогда используя формулы (16) и рис. 1б из работы [7], получим

$$\begin{aligned} \mathbf{a} &= \mathbf{a}_{1\alpha}, & \mathbf{g} &= (\mathbf{a}_{3\alpha} - \mathbf{a}_{2\alpha})/2, \\ \mathbf{h} &= (\mathbf{a}_{3\alpha} + \mathbf{a}_{2\alpha})/2. \end{aligned} \quad (58)$$

Здесь величина  $\mathbf{h}$ , как и ранее, имеет смысл вектора относительного смещения плотноупакованных плоскостей, хотя длина этого вектора, равная теперь  $a_\alpha/\sqrt{2}$ , отличается от аналогичной длины в ГЦК-решетке, равной  $a_\gamma/\sqrt{3}$ . Отметим, что три вектора  $\mathbf{a}$ ,  $\mathbf{g}$  и  $\mathbf{h}$  взаимно перпендикулярны, а их длины связаны соотношениями  $g^2 = h^2 = a^2/2 = a_\alpha^2/2$ .

При использовании формул (57) и (58) расчет константы  $c_m$  в (56) вполне аналогичен расчету  $c_a$  в (49) и (50), только параметры Борна–Кармана  $a_n - d_n$  в формулах (51) теперь берутся из табл. 9 для ОЦК-железа.

Значения констант  $c_a$  и  $c_m$ , полученные в этих расчетах, приводятся и обсуждаются ниже в разд. 7. Но для интерпретации этих и других результатов настоящей работы полезно рассмотреть также другой возможный способ расчета констант  $c_a$  и  $c_m$ , описываемый в следующем разделе.

### 5.3. Выражения для $c_a$ и $c_m$ через частоты фононов в ГЦК- и ОЦК-железе

Константы  $c_a$  и  $c_m$  можно также выразить через частоты некоторых фононов в ГЦК- и ОЦК-железе, измеряемые в экспериментах. Для этого заметим, что если в формуле (46) для изменения энергии кристалла при малых смещениях атомов перейти от  $\mathbf{u}_r$  к их фурье-компонентам  $\mathbf{u}_k$ ,

$$\mathbf{u}_r = \sum_{\mathbf{k}} \mathbf{u}_k \exp(i\mathbf{k} \cdot \mathbf{r}), \quad (59)$$

где сумма по  $\mathbf{k}$  идет по зоне Бриллюэна и  $\mathbf{u}_{-\mathbf{k}} = \mathbf{u}_k^*$ , то энергия (46) выражается через фурье-компоненты  $\mathbf{u}(\mathbf{k})$  так:

$$\delta U = N \frac{1}{2} \sum_{\mathbf{k}} u_k^{\alpha*} D_{\alpha\beta}(\mathbf{k}) u_k^{\beta}. \quad (60)$$

Здесь  $N$  — полное число атомов кристалла, а динамическая матрица  $\mathbf{D}(\mathbf{k})$  есть фурье-компонента матрицы силовых постоянных  $\mathbf{A}(\mathbf{R})$ , входящей в формулу (46):

$$D_{\alpha\beta}(\mathbf{k}) = \sum_{\mathbf{R}} A^{\alpha\beta}(\mathbf{R}) \exp(-i\mathbf{k} \cdot \mathbf{R}). \quad (61)$$

Если при этом единичный вектор поляризации для фона с поляризацией  $\lambda$  и частотой  $\omega_{\lambda}(\mathbf{k})$  обозначить как  $\mathbf{e}_{\mathbf{k}\lambda}$ , то этот вектор для динамической матрицы  $\mathbf{D}(\mathbf{k})$  является собственным и удовлетворяет уравнению

$$D_{\alpha\beta}(\mathbf{k}) e_{\mathbf{k}\lambda}^{\beta} = \nu_{\lambda}(\mathbf{k}) e_{\mathbf{k}\lambda}^{\alpha}, \quad (62)$$

где мы для краткости обозначили  $\nu_{\lambda}(\mathbf{k}) = M\omega_{\lambda}^2(\mathbf{k})$ .

Начнем с вычисления константы  $c_a$  для ГЦК-решетки и сначала выразим векторы смещений  $\mathbf{p}_m$  в формулах (48) и табл. 1 через векторы  $\mathbf{e}_{\mathbf{k}\lambda}$  с некоторыми  $\mathbf{k}$  и  $\lambda$ . Для этого заметим, во-первых, что векторы  $\mathbf{p}_m$  описывают смещения в плотноупакованных плоскостях, перпендикулярных вектору  $\mathbf{h} = a_\gamma(1, 1, 1)_\gamma/3$ , и эти смещения имеют период  $6\mathbf{h}$  вдоль данного направления. Поэтому при описании этих смещений в терминах амплитуд фононов  $\mathbf{u}(\mathbf{k})$  по уравнению (59) значения  $\mathbf{k}$  в правой части равенства должны быть такими, чтобы эта периодичность через  $6\mathbf{h}$  выполнялась. Если учесть, что в зоне Бриллюэна ГЦК-решетки максимальное значение векторов  $\mathbf{k}$  вдоль направления  $[111]_\gamma$  равно  $\mathbf{g}_\gamma/2$ , где  $\mathbf{g}_\gamma = (1, 1, 1)_\gamma 2\pi/a_\gamma$  — вектор обратной решетки для этого направления, то ясно, что при описании смещений (48) соотношением (59) правая часть мо-

жет содержать только такие 5 векторов  $\mathbf{k}$ :  $\pm\mathbf{k}_6$ ,  $\pm\mathbf{k}_3$  и  $\mathbf{k}_2$ , где через  $\mathbf{k}_n$  обозначено  $\mathbf{g}_\gamma/n$ ,

$$\pm\mathbf{k}_6 = \pm\frac{1}{6}\mathbf{g}_\gamma, \quad \pm\mathbf{k}_3 = \pm\frac{1}{3}\mathbf{g}_\gamma, \quad \mathbf{k}_2 = \frac{1}{2}\mathbf{g}_\gamma, \quad (63)$$

и учтено, что  $\exp(i\mathbf{k}_2 \cdot \mathbf{r}) = \pm 1 \equiv \exp(-i\mathbf{k}_2 \cdot \mathbf{r})$ . Таким образом, равенство (48) можно записать в виде фурье-разложения так:

$$\mathbf{u}_\mathbf{r} = s\mathbf{p}_\mathbf{r} = s \sum_{\mathbf{k}_\nu} \mathbf{u}(\mathbf{k}_\nu) \exp(i\mathbf{k}_\nu \cdot \mathbf{r}), \quad (64)$$

где функция  $\mathbf{p}_\mathbf{r}$  — та же, что в (62), а индекс « $\nu$ » указывает на один из пяти волновых векторов в (63).

Заметим теперь, что для рассматриваемого направления  $[111]_\gamma$  в ГЦК-решетке (так же, как для направления  $[110]_\alpha$  в ОЦК-решетке) фононы распадаются на чисто поперечные и чисто продольные, т. е. вектор поляризации  $\mathbf{e}_{\mathbf{k}\lambda}$  в равенствах (62) для этих фононов не зависит от величины вектора  $\mathbf{k}$ :  $\mathbf{e}_{\mathbf{k}\lambda} = \mathbf{e}_\lambda$ . Поэтому в векторах  $\mathbf{u}(\mathbf{k}_\nu)$  в (64) удобно явно указывать вектор поляризации:

$$\mathbf{u}(\mathbf{k}_\nu) = \mathbf{e}_\lambda u(\mathbf{k}_\nu, \lambda), \quad (65)$$

а в скалярных амплитудах  $u(\mathbf{k}_\nu, \lambda)$  выделять множителями их модули  $c_{n\lambda} = |u(\mathbf{k}_\nu, \lambda)|$  и фазы  $\pm\alpha_{n\lambda}$ , записывая эти амплитуды так:

$$\begin{aligned} u(\pm\mathbf{k}_6) &= c_{6\lambda} \exp(\pm i\alpha_{6\lambda}), \\ u(\pm\mathbf{k}_3) &= c_{3\lambda} \exp(\pm i\alpha_{3\lambda}), \quad u(\mathbf{k}_2) = c_{2\lambda}. \end{aligned} \quad (66)$$

Поскольку векторы поперечных смещений  $\mathbf{p}_m$  в табл. 1 выражены через векторы  $\mathbf{b}_1$  и  $\mathbf{d}_1$ , в качестве ортов  $\mathbf{e}_\lambda$  в формуле (65) естественно использовать векторы  $\mathbf{e}_x = \mathbf{b}_1/b$  и  $\mathbf{e}_y = \mathbf{d}_1/d$  из (44), обозначая соответствующие им поляризации  $\lambda$  как  $x$  и  $y$ . Тогда, опуская в обеих частях равенства (64) общий множитель  $s \rightarrow 0$ , можно записать соотношения (64) в виде совокупности равенств для шести неэквивалентных плоскостей  $m$ , т. е. векторов  $\mathbf{r}_m = m\mathbf{h}$ :

$$\begin{aligned} \mathbf{p}_m = \sum_{\lambda=x,y} \mathbf{e}_\lambda &\left[ \xi_{6\lambda} \cos \varphi_{6m} + \eta_{6\lambda} \sin \varphi_{6m} + \right. \\ &\left. + \xi_{3\lambda} \cos \varphi_{3m} + \eta_{3\lambda} \sin \varphi_{3m} + \xi_{2\lambda} \cos \varphi_{2m} \right], \end{aligned} \quad (67)$$

где для  $n$ , равного 6 или 3, мы обозначили  $\xi_{n\lambda} = 2c_{n\lambda} \cos \alpha_{n\lambda}$ ,  $\eta_{n\lambda} = 2c_{n\lambda} \sin \alpha_{n\lambda}$  и  $\xi_{2\lambda} = c_{2\lambda} \cos \alpha_{2\lambda}$ . При этом величины  $\varphi_{nm} = \mathbf{k}_n \cdot \mathbf{r}_m$ , с учетом определений (63), имеют такие значения:

$$\varphi_{nm} = 2\pi m/n. \quad (68)$$

Соотношения (67) при каждом  $\lambda$  образуют систему шести уравнений для определения пяти неизвестных величин:  $\xi_{6\lambda}$ ,  $\eta_{6\lambda}$ ,  $\xi_{3\lambda}$ ,  $\eta_{3\lambda}$  и  $\xi_{2\lambda}$ . Однако суммирование этих уравнений по всем  $m$  от 1 до 6, с учетом условия (35) и соотношений  $\sum_m \exp(i\varphi_{nm}) = 0$ , дает в обеих частях равенства тождественный нуль. Поэтому для нахождения пяти неизвестных имеется пять независимых уравнений. Если в качестве этих независимых уравнений выбрать уравнения для  $m = 1, 2, 3, 4, 6$ , то система уравнений (67) примет вид

$$\begin{aligned} \xi_{6\lambda} + \sqrt{3}\eta_{6\lambda} - \xi_{3\lambda} + \sqrt{3}\eta_{3\lambda} + 2\xi_{2\lambda} &= 2\zeta_1^\lambda, \\ -\xi_{6\lambda} + \sqrt{3}\eta_{6\lambda} - \xi_{3\lambda} - \sqrt{3}\eta_{3\lambda} + 2\xi_{2\lambda} &= 2\zeta_2^\lambda, \\ -\xi_{6\lambda} + \xi_{3\lambda} - \xi_{2\lambda} &= \zeta_3^\lambda, \\ -\xi_{6\lambda} - \sqrt{3}\eta_{6\lambda} - \xi_{3\lambda} + \sqrt{3}\eta_{3\lambda} + \xi_{2\lambda} &= 2\zeta_4^\lambda, \\ \xi_{6\lambda} + \xi_{3\lambda} + \xi_{2\lambda} &= \zeta_6^\lambda. \end{aligned} \quad (69)$$

Здесь через  $\zeta_m^\lambda$  обозначен коэффициент при  $\mathbf{e}_\lambda$  (т. е.  $\mathbf{e}_x$  или  $\mathbf{e}_y$ ) в векторе  $\mathbf{p}_m$  для выбранного пути превращения, определяемый с помощью второй или третьей строк табл. 1. Решения системы уравнений (69) указаны в табл. 2.

Подставляя выражения (64) и (66) в формулу (60) с учетом соотношения (62), получаем следующее выражение для энергии  $\delta U$  в (60) через частоты фононов:

$$\delta U = Ns^2 \frac{1}{2} \sum_\lambda \left( \nu_{6\lambda} 2c_{6\lambda}^2 + \nu_{3\lambda} 2c_{3\lambda}^2 + \nu_{2\lambda} c_{2\lambda}^2 \right), \quad (70)$$

где для краткости обозначено  $\nu_{n\lambda} = \nu_\lambda(\mathbf{k}_n)$ , а  $\nu_\lambda(\mathbf{k})$  — то же, что в (62). При этом в рассматриваемом случае ГЦК-решетки частоты двух поперечных ветвей  $\lambda$ , входящих в формулу (70), одинаковы, т. е. не зависят от  $\lambda$ . Сравнивая равенство (70) с формулой (47), можно представить константу  $c_a$  в (3) в виде

$$c_a = \sum_{\lambda=x,y} \left( \nu_{6\lambda} c_{6\lambda}^2 + \nu_{3\lambda} 2c_{3\lambda}^2 + \nu_{2\lambda} c_{2\lambda}^2 \right). \quad (71)$$

Здесь величины  $c_{n\lambda}^2 = (\xi_{n\lambda}^2 + \eta_{n\lambda}^2)/4$ , согласно табл. 2, имеют значения, приводимые во второй и третьей строках табл. 3, где мы учили, что  $d = b/\sqrt{3}$ , и выразили  $c_{n\lambda}^2$  через расстояние между ближайшими соседями в ГЦК-решетке  $b = a_\gamma/\sqrt{2}$ .

Расчет константы  $c_m$  в формуле (3) выполняется точно так же, как для  $c_a$ , только вектор обратной решетки  $\mathbf{g}_\gamma$  в выражениях (63) для  $\mathbf{k}_n$ , входящих в формулы (67), (70) и (71), теперь заменяется на аналогичный вектор обратной решетки  $\mathbf{g}_\alpha$ , перпендику-

Таблица 2. Решения  $\xi_{n\lambda}$  и  $\eta_{n\lambda}$  системы уравнений (69)

| Путь превращения               | $\xi_{6x}$ | $\eta_{6x}$    | $\xi_{3x}$ | $\eta_{3x}$ | $\xi_{2x}$ | $\xi_{6y}$ | $\eta_{6y}$ | $\xi_{3y}$ | $\eta_{3y}$    | $\xi_{2y}$ |
|--------------------------------|------------|----------------|------------|-------------|------------|------------|-------------|------------|----------------|------------|
| $(\gamma \rightarrow \alpha)1$ | 0          | $-b/2\sqrt{3}$ | $-b/6$     | 0           | 0          | $-d/2$     | 0           | 0          | $-d/2\sqrt{3}$ | $-d/4$     |
| $(\gamma \rightarrow \alpha)2$ | $b/6$      | $b/2\sqrt{3}$  | 0          | 0           | $b/12$     | 0          | 0           | $-d/2$     | $-d/2\sqrt{3}$ | 0          |

Таблица 3. Значения величин  $c_{n\lambda}^2$  в формулах (71) и (73)

| Константа | Путь превращения               | $c_{6x}^2$      | $c_{3x}^2$       | $c_{2x}^2$       | $c_{6y}^2$      | $c_{3y}^2$        | $c_{2y}^2$      |
|-----------|--------------------------------|-----------------|------------------|------------------|-----------------|-------------------|-----------------|
| $c_a$     | $(\gamma \rightarrow \alpha)1$ | $b^2/48$        | $b^2/144$        | 0                | $b^2/48$        | $b^2/144$         | $b^2/48$        |
|           | $(\gamma \rightarrow \alpha)2$ | $b^2/36$        | 0                | $b^2/144$        | 0               | $b^2/36$          | 0               |
| $c_m$     | $(\gamma \rightarrow \alpha)1$ | $a_\alpha^2/48$ | $a_\alpha^2/144$ | 0                | $a_\alpha^2/72$ | $a_\alpha^2/216$  | $a_\alpha^2/72$ |
|           | $(\gamma \rightarrow \alpha)2$ | $a_\alpha^2/36$ | 0                | $a_\alpha^2/144$ | 0               | $2a_\alpha^2/108$ | 0               |

лярный плотноупакованным плоскостям в ОЦК-решетке:

$$\begin{aligned} \mathbf{k}_6 &= \frac{1}{6}\mathbf{g}_\alpha, \quad \mathbf{k}_3 = \frac{1}{3}\mathbf{g}_\alpha, \\ \mathbf{k}_2 &= \frac{1}{2}\mathbf{g}_\alpha, \quad \mathbf{g}_\alpha = (011)_\alpha \frac{2\pi}{a_\alpha}. \end{aligned} \quad (72)$$

При этом поперечные фононы с векторами  $\mathbf{k}_n$ , вдоль направления  $(011)_\alpha$ , входящие в формулу (70), имеют разные частоты для разных поляризаций, и ветвь Т1 с поляризацией вдоль вектора  $\mathbf{e}_y \sim (0, 1, \bar{1})_\alpha$  лежит ниже ветви Т2 с поляризацией вдоль  $\mathbf{e}_x \sim (100)_\alpha$ . Кроме того, учитывая соотношения (57), величину  $b = |\mathbf{b}_1|$  в выражениях для  $c_{nx}^2$  в четвертой и пятой строках табл. 3 нужно заменять на  $a = a_\alpha$ , а в выражениях для  $c_{ny}^2$  — на  $2g/\sqrt{3} = a_\alpha\sqrt{2/3}$ .

С учетом всех этих замечаний, выражение для  $c_m$  вместо (71) имеет такой вид:

$$c_m = \sum_{\lambda=x,y} \left( \nu_{6\lambda} 2c_{6\lambda}^2 + \nu_{3\lambda} 2c_{3\lambda}^2 + \nu_{2\lambda} c_{2\lambda}^2 \right), \quad (73)$$

где значения  $c_{n\lambda}^2$  даются четвертой и пятой строками табл. 3.

Таблицы 2 и 3 показывают, в частности, что амплитуды фононных смещений  $sc_{n\lambda}$  или  $(1-s)c_{n\lambda}$  в формулах (59), (64) и (55) остаются достаточно малыми сравнительно с межатомными расстояниями на всем пути превращения. Кроме того, соотношения (55), (59) и (64) показывают, что, по крайней мере при малых  $s$  или  $(1-s)$ , тасование плот-

ноупакованных атомных плоскостей, осуществляющее мартенситное превращение, можно рассматривать как возникновение суперпозиций нескольких «замороженных фононов» с волновыми векторами  $\mathbf{k}_n$ , указанными в формуле (63) или (72). Поэтому и характеристики ОФГЛ, описывающего такое превращение, отражают «фононный» механизм этого превращения. Это проявляется, в частности, в резкой анизотропии тензора градиентных коэффициентов  $g_{\alpha\beta}^{ss}$  в выражении для свободной энергии (12), обсуждаемой ниже в разд. 7.

## 6. РАСЧЕТЫ ГРАДИЕНТНЫХ КОЭФФИЦИЕНТОВ $g^{ss}$ , $g^{su}$ И $g^{uu}$ В ВЫРАЖЕНИЯХ (9)–(11)

### 6.1. Расчеты коэффициентов $g_{\alpha\beta}^{ss}$ в выражении (9)

Методы микроскопических расчетов градиентных членов ОФГЛ, описывающих обсуждаемые превращения, подробно рассматривались в работе [6]. Было показано, что градиентные коэффициенты  $g_{\alpha\beta}^{ss}$  в (9) при любом значении параметра превращения  $s$  могут быть явно выражены через матрицу силовых постоянных  $\mathbf{A}(\mathbf{R}, s) = A_{ml}^{\alpha\beta}(\mathbf{R}, s)$  кристалла на пути превращения. Элементарная ячейка этого кристалла, как отмечено выше, содержит 6 атомов, лежащих в шести неэквивалентных плотноупакованных плоскостях  $t$ . Выражение  $\mathbf{g}^{ss}$  через  $\mathbf{A}(\mathbf{R}, s)$ , полученное в работе [6], дается первым слагаемым фор-

мулы (48), которое в обозначениях настоящей работы имеет вид

$$g_{\alpha\beta}^{ss}(s) = -\frac{1}{24} \sum_{m,l=1}^6 \sum_{n=1}^{n_{max}} \sum_q \tilde{p}_m^\gamma A^{\gamma\delta}(\mathbf{R}_{nq}, s) \tilde{p}_l^\delta R_{nq}^\alpha R_{nq}^\beta, \quad (74)$$

где векторы  $\tilde{\mathbf{p}}_m$  те же, что в формуле (40), а  $\mathbf{R}_{nq} = \mathbf{r}'_l - \mathbf{r}_m$ , как и в формуле (49), есть  $q$ -й вектор решетки, принадлежащий координационной сфере  $n$  и соединяющий узел  $\mathbf{r}'_l$  с узлом  $\mathbf{r}_m$ .

Матрицы  $A^{\gamma\delta}(\mathbf{R}_{nq}, s)$  в (74) можно оценивать, например, используя интерполяцию между начальным и конечным значениями каждой из этих матриц на пути превращения. Такая интерполяция обсуждалась в работе [6] и иллюстрировалась в ней формулами (60)–(62). Однако ниже мы ограничимся более простой интерполяцией, вычисляя матрицу  $A^{\gamma\delta}(\mathbf{R}, s)$  только при  $s = 0$  и  $s = 1$  (т. е. в аустените и в мартенсите) и применяя затем разные возможные способы интерполяции элементов данной матрицы между этими граничными значениями. При этом значения  $g^{\alpha\beta}$  для аустенита будем указывать нижним индексом  $a$ , а для мартенсита — нижним индексом  $m$ .

Тогда, согласно соотношениям (74), общие выражения для  $g_a^{\alpha\beta}$  и  $g_m^{\alpha\beta}$  можно записать в виде, аналогичном выражениям (49) и (56) для  $c_a$  и  $c_m$ :

$$g_a^{\alpha\beta} = -\frac{1}{24} \sum_{m,l=1}^6 \sum_{n=1}^{n_{max}} \sum_q p_m^\gamma A^{\gamma\delta}(\mathbf{R}_{nq}) p_l^\delta R_{nq}^\alpha R_{nq}^\beta, \quad (75)$$

$$g_m^{\alpha\beta} = -\frac{1}{24} \sum_{m,l=1}^6 \sum_{n=1}^{n_{max}} \sum_q \tilde{p}_m^\gamma A^{\gamma\delta}(\mathbf{R}_{nq}) \tilde{p}_l^\delta R_{nq}^\alpha R_{nq}^\beta, \quad (76)$$

где матрицы  $\mathbf{A}(\mathbf{R}_{nq})$  те же, что в формулах (49) и (56). Суммы по векторам решетки в (75) и (76) аналогичны таким же суммам в выражениях (49) и (56), отличаясь от них только наличием в каждом члене двух последних сомножителей (и отсутствием вклада матрицы  $\mathbf{A}_0$ , который здесь равен нулю). Поэтому  $g_a^{\alpha\beta}$  и  $g_m^{\alpha\beta}$  могут вычисляться теми же методами, что  $c_a$  и  $c_m$  в разд. 5.2. Результаты этих расчетов приводятся ниже.

Обсудим теперь возможность получить для тензоров  $\mathbf{g}_a$  и  $\mathbf{g}_m$  в (75) и (76) выражения через динамическую матрицу или непосредственно через частоты

фононов в ГЦК- или ОЦК-железе, аналогичные выражениям (71) и (73) для  $c_a$  и  $c_m$ . Это позволит нам обсуждать уточнения расчетов  $\mathbf{g}_a$  и  $\mathbf{g}_m$ , связанные с выходом за рамки приближенного описания фононных спектров моделями Борна–Кармана с короткодействием, использовавшимися в работах [12–14].

Для определенности рассмотрим сначала тензор  $\mathbf{g}_a$  и заметим, что если воспользоваться тождеством

$$R^\alpha R^\beta = -\left[ \partial^2 / \partial q_\alpha \partial q_\beta \exp(-i\mathbf{q}\cdot\mathbf{R}) \right]_{\mathbf{q} \rightarrow 0}, \quad (77)$$

то выражение (75) для  $\mathbf{g}_a$  можно записать в виде двойной суммы по всем векторам решетки, аналогичной первому выражению (49) для  $c_a$ :

$$g_a^{\alpha\beta} = \frac{1}{4N} \times \left[ \partial^2 / \partial q_\alpha \partial q_\beta \sum_{\mathbf{r}, \mathbf{r}'} p_\mathbf{r}^\alpha B^{\alpha\beta}(\mathbf{r} - \mathbf{r}', \mathbf{q}) p_{\mathbf{r}'}^\beta \right]_{\mathbf{q} \rightarrow 0}, \quad (78)$$

где функция  $B^{\alpha\beta}(\mathbf{R}, \mathbf{q})$  отличается от матрицы силовых постоянных  $A^{\alpha\beta}(\mathbf{R})$  только экспоненциальным множителем, возникшим из тождества (77):

$$B^{\alpha\beta}(\mathbf{R}, \mathbf{q}) = A^{\alpha\beta}(\mathbf{R}) \exp(-i\mathbf{q} \cdot \mathbf{R}). \quad (79)$$

Переходя в выражении (78) к решеточным компонентам Фурье так же, как при переходе от выражения (46) для  $\delta U$  к формуле (60), и учитывая вид фурье-разложений функции  $\mathbf{p}_\mathbf{r}$ , определяемый равенствами (64) и (65), а также определения (61) и (79), можно записать компоненты  $g_a^{\alpha\beta}$  в виде

$$g_a^{\alpha\beta} = \frac{1}{4} \left[ \partial^2 / \partial q_\alpha \partial q_\beta \sum_{\nu, \lambda=x, y} u^*(\mathbf{k}_\nu, \lambda) e_\lambda^\gamma \times D^{\gamma\delta}(\mathbf{k}_\nu + \mathbf{q}) e_\lambda^\delta u(\mathbf{k}_\nu, \lambda) \right]_{\mathbf{q} \rightarrow 0}, \quad (80)$$

где векторы  $\mathbf{e}_\lambda$  и амплитуды  $u(\mathbf{k}_\nu, \lambda)$  те же, что в равенствах (65). Подставляя для  $u(\mathbf{k}_\nu, \lambda)$  выражения (66), мы можем явно выразить компоненты  $g_a^{\alpha\beta}$  через величины  $c_{n\lambda}$  из табл. 3:

$$g_a^{\alpha\beta} = \frac{1}{4} \left\{ \partial^2 / \partial q_\alpha \partial q_\beta \sum_{\lambda=x, y} e_\lambda^\gamma \left[ 2c_{6\lambda}^2 D^{\gamma\delta}(\mathbf{k}_6 + \mathbf{q}) + 2c_{3\lambda}^2 D^{\gamma\delta}(\mathbf{k}_3 + \mathbf{q}) + c_{2\lambda}^2 D^{\gamma\delta}(\mathbf{k}_2 + \mathbf{q}) \right] e_\lambda^\delta \right\}_{\mathbf{q} \rightarrow 0}. \quad (81)$$

Если в равенстве (81) направление вектора  $\mathbf{q}$  не совпадает с направлением векторов  $\mathbf{k}_n$ , т. е. если хотя бы одна из компонент  $\alpha$  или  $\beta$  тензора  $g_a^{\alpha\beta}$  в

используемой нами системе координат (44) равна  $x$  или  $y$ , то векторы  $\mathbf{e}_\lambda$  в (81) не являются собственными для матриц  $\mathbf{D}(\mathbf{k}_n + \mathbf{q})$ , т. е. не удовлетворяют соответствующим уравнениям (61), и соотношение (81) не дает возможности выразить  $g_a^{\alpha\beta}$  через частоты фононов. Но если  $\alpha = \beta = z$ , т. е. векторы  $\mathbf{k}_n + \mathbf{q}$  направлены нормально плотноупакованым плоскостям, то, как отмечено выше, для поперечных фононов этого направления векторы  $\mathbf{e}_\lambda$  являются собственными при любых значениях  $|\mathbf{k}_n + \mathbf{q}|$ . Поэтому каждое произведение  $\mathbf{D}(\mathbf{k}_n + \mathbf{q})\mathbf{e}_\lambda$  в равенстве (81) можно упростить по уравнениям (61), и для компоненты  $g_a^{zz}$  получаем

$$g_a^{zz} = \frac{1}{4} \left\{ \partial^2 / \partial q_z^2 \sum_{\lambda=x,y} \left[ 2c_{6\lambda}^2 \nu_\lambda(\mathbf{k}_6 + \mathbf{q}) + 2c_{3\lambda}^2 \nu_\lambda(\mathbf{k}_3 + \mathbf{q}) + c_{2\lambda}^2 \nu_\lambda(\mathbf{k}_2 + \mathbf{q}) \right] \right\}_{q_z \rightarrow 0}, \quad (82)$$

где  $\nu_\lambda(\mathbf{k})$  то же, что в (62). Ниже волновые векторы  $\mathbf{k}$  для обсуждаемого направления  $\mathbf{e}_z = \mathbf{h}/h$  будем описывать скалярной величиной  $\xi$ , определенной обычным соотношением:  $\mathbf{k} = \xi 2\pi \mathbf{h}/h^2$ . При этом каждому вектору  $\mathbf{k}_n$  в (63) соответствует значение  $\xi_n = 1/n$ , а равенство (82) можно компактно записать так:

$$g_a^{zz} = \frac{1}{12} \left( \frac{a_\gamma}{2\pi} \right)^2 \times \sum_{\lambda=x,y} \left( 2c_{6\lambda}^2 \nu''_{6\lambda} + 2c_{3\lambda}^2 \nu''_{3\lambda} + c_{2\lambda}^2 \nu''_{2\lambda} \right), \quad (83)$$

где  $\nu''_{n\lambda}$  — производная  $d^2\nu_\lambda(\xi)/d\xi^2$  при  $\xi = \xi_n$ .

Зависимости  $\nu_\lambda(\xi)$  для обсуждаемых фононов подробно рассматривались в работе [20]. Было показано, что если обозначить номер плотноупакованной плоскости, соответствующий значению  $n_{max}$  в формуле (49) (т. е. номер последней из таких плоскостей, взаимодействие с которыми учитывается в используемой модели Борна–Кармана) через  $m_{max}$ , то каждая функция  $\nu_\lambda(\xi)$  описывается простым соотношением:

$$\nu_\lambda(\xi) = \sum_{m=1}^{m_{max}} B_{m\lambda} \sin^2(\pi m \xi), \quad (84)$$

где  $B_{m\lambda}$  — постоянные коэффициенты, которые можно выразить через значения  $\nu_\lambda(\xi_i)$  при каких-нибудь  $m_{max}$  значениях  $\xi_i$ .

При описании ГЦК-железа в этой работе мы используем модель Борна–Кармана, предложенную в работе [12], в которой  $n_{max} = 6$ . Как обсуждалось в работе [20], это соответствует значению  $m_{max} = 3$ .

Поэтому в качестве упомянутых значений  $\xi_i$  естественно выбрать используемые нами  $\xi_n = 1/n$ , выражая коэффициенты  $B_{m\lambda}$  в (84) через  $\nu_{n\lambda}$ . Это дает

$$\begin{aligned} B_{1\lambda} &= \frac{2}{3} (\nu_{3\lambda} + \nu_{2\lambda} - \nu_{6\lambda}), \\ B_{2\lambda} &= \frac{2}{3} (\nu_{6\lambda} + \nu_{3\lambda} - \nu_{2\lambda}), \\ B_{3\lambda} &= \frac{2}{3} (\nu_{6\lambda} - \nu_{3\lambda} + \nu_{2\lambda}/2). \end{aligned} \quad (85)$$

Отметим, что значение  $B_{1\lambda}$  в (85) обычно намного больше, чем  $B_{2\lambda}$  и  $B_{3\lambda}$ . Так, для поперечных фононов в ГЦК-железе, используя для  $\nu_n$  значения из табл. 4, имеем:  $B_1 \approx \nu_2$ ,  $B_2 \approx 0.01B_1$ ,  $B_3 \approx -0.02B_1$ . Заметим также, что соотношение (83) является точным и общим, в то время как формулы (75) и (76), так же как (84) и (85), основаны на моделях Борна–Кармана с некоторыми, не слишком большими, значениями  $n_{max}$  и  $m_{max}$ , входящими в эти формулы.

Соотношения (81)–(85), очевидно, сохраняют свой вид также и для компонент  $g_m^{\alpha\beta}$  в (76). Только в моделях Борна–Кармана для ОЦК-железа, предложенных в работах [13, 14] и используемых в настоящей работе, значение  $n_{max}$  выбиралось равным 5, что, как показано в [20], соответствует  $m_{max} = 2$ . Поэтому сумма в (84) здесь содержит только два члена, и  $B_{3\lambda} = 0$ .

Результаты расчетов величин  $g_a^{\alpha\beta}$  и  $g_m^{\alpha\beta}$  по соотношениям (75) и (76) или (83)–(85) приведены ниже в табл. 6. Качественной особенностью этих результатов является малость значений компонент  $g^{zz}$  сравнительно с  $g^{xx}$  и  $g^{yy}$ , т. е. сильная анизотропия рассматриваемых градиентных коэффициентов, особенно в ГЦК-железе. При этом для пути превращения ( $\gamma \rightarrow \alpha$ )2 вычисленное таким образом значение  $g_a^{zz}$  оказывается даже отрицательным. Как обсуждалось в работе [6], такая отрицательность могла бы указывать на неустойчивость рассматриваемых национальных структур (по крайней мере, при малых значениях параметра превращения  $s$ ) относительно образования некоторых неоднородных искажений, квазипериодических вдоль направления  $\mathbf{e}_z = \mathbf{h}/h$ , перпендикулярного плотноупакованным плоскостям.

В этой связи мы обсудим вопрос о точности использованных нами расчетов по формулам (75) или (83)–(85), основанных на модели Борна–Кармана из работы Зарецкого и Стассиса [12], в частности, точность описания этой моделью производных  $\nu''_{n\lambda}$  в общем выражении (83) для  $g_a^{zz}$ . Если сравнить экспериментальные значения частот  $\omega_T(\xi)$  поперечных фононов направления  $\mathbf{h}/h = (\xi, \xi, \xi)_\gamma$  в ГЦК-железе,

**Таблица 4.** Значения величин  $\nu_{n\lambda} = M\omega_\lambda^2(\mathbf{k}_n)$  в формулах (71), (73) и (85), найденные в экспериментах [12–14] (в дин/см)

|                           | $\nu_{6x}$ | $\nu_{6y}$ | $\nu_{3x}$ | $\nu_{3y}$ | $\nu_{2x}$ | $\nu_{2y}$ |
|---------------------------|------------|------------|------------|------------|------------|------------|
| ГЦК-Fe, $T = 1428$ К [12] | 10875      | 10875      | 34539      | 34539      | 44724      | 44724      |
| ОЦК-Fe, $T = 293$ К [13]  | 4561       | 33988      | 18011      | 90324      | 26901      | 112672     |
| ОЦК-Fe, $T = 773$ К [14]  | 5608       | 31096      | 20985      | 94443      | 30753      | 126694     |
| ОЦК-Fe, $T = 1043$ К [14] | 11001      | 33660      | 40434      | 106794     | 58867      | 146267     |
| ОЦК-Fe, $T = 1173$ К [14] | 17600      | 34590      | 57360      | 114510     | 79520      | 159840     |

приведенные на рис. 1 работы [12], с описанием этих частот используемой моделью Борна–Кармана (также показанным на этом рисунке), то можно видеть, что наблюдаемые значения  $\nu''_{6T} \propto (\omega_{6T}^2)''$  и  $\nu''_{3T} \propto (\omega_{3T}^2)''$  описываются достаточно точно. В то же время описание значений  $\nu''_{2T} \propto (\omega_{2T}^2)''$  этой моделью Борна–Кармана кажется качественно неверным. Для значений  $\xi$ , близких к  $\xi = 0.5$ , экспериментальные точки, по-видимому, указывают на наличие смягчения частоты с ростом  $\xi$ , т. е. на то, что при  $\xi = 0.5$  функция  $\omega_T(\xi)$  имеет минимум вместо обычного максимума. Как отмечалось в ряде работ, например, [20, 21], такое смягчение является типичным проявлением зонных эффектов дальнодействия и оно наблюдается во многих металлах. Правда, погрешности измерений в работе [12] не позволяют сделать вывод о наличии данной аномалии, т. е. о наличии в ГЦК-железе минимума частот  $\omega_T(\xi)$  при  $\xi = 0.5$  с полной определенностью. Однако для частоты продольной ветви данного направления,  $\omega_L(\xi)$ , аналогичная аномалия на рис. 1 из работы [12] наблюдается вполне отчетливо. Поэтому наличие сходной аномалии также и в поперечной ветви кажется наиболее вероятным. Тогда вторая производная  $\nu''_{2T} \propto (\omega_{2T}^2)''$  в выражении (83) является положительной, в то время как в расчете с использованием модели Борна–Кармана из работы [12], в которой  $\xi = 0.5$  является точкой максимума  $\omega_T(\xi)$ , эта производная отрицательна.

Чтобы исправить эту неточность и оценить значения  $g_a^{zz}$  в железе более реалистично, можно использовать интерполяцию данных [12] об  $\omega_T(\xi)$  вблизи  $\xi = 0.5$ , аналогичную использованной выше в формуле (8). В соответствии с рис. 1 и табл. 1, приведенными в работе [12], будем предполагать, что в точке  $\xi = 0.5$  функция  $\omega_T(\xi)$  имеет минимум, равный  $\omega_2$ , в то время как точка  $\xi_\delta = (0.5 - \delta)$  с  $\delta = 0.05$ ,

для которой в [12] было найдено  $\omega_T(\xi_\delta) = \omega_2(1 + \Delta)$  с  $\Delta \approx 0.047$ , соответствует точке максимума  $\omega_T(\xi)$ . Тогда, интерполируя зависимость величины  $\nu_T(\xi) = M\omega_T^2(\xi)$  в интервале от  $\xi_\delta$  до  $\xi = 0.5$  так же, как при выводе формулы (8), с учетом малости  $\Delta$  получим

$$\nu_T(\xi) = \nu_2 [1 + 2\Delta\eta^2(3 - 2\eta)], \quad (86)$$

где  $\eta = (0.5 - \xi)/\delta$ . Вычисление производной  $\nu''_{2T}$  с функцией  $\nu_T(\xi)$ , даваемой выражением (86) (которое мы будем называть «экспериментальным» и обозначать нижним индексом «exp»), дает

$$\nu''_{2T,exp} = \nu_2 \cdot 12\Delta/\delta^2 \approx 226\nu_2. \quad (87)$$

В то же время аналогичный вклад, вычисленный на основе модели Борна–Кармана из работы [12] (называемый ниже индексом «BvK»), согласно формулам (84) и (85), дается выражением

$$\nu''_{2T,BvK} = -2\pi^2(B_1 - 4B_2 + 9B_3) \approx -20\nu_2. \quad (88)$$

Видно, что обсуждаемая неточность приводит к резкому снижению вклада слагаемого  $\nu''_{2T}$  в выражение (83).

Значения  $g_a^{zz}$ , вычисленные по соотношению (83) с использованием для  $\nu''_{2T}$  выражения (87) вместо (88), приводятся в табл. 6 в квадратных скобках. Видно, что эти значения положительны, так что упоминавшаяся методическая трудность отсутствует. Ниже во всех расчетах настоящей работы для  $g_a^{zz}$  используются экспериментальные значения, указанные ниже в табл. 6 в квадратных скобках.

## 6.2. Расчеты коэффициентов $g^{uu}$ и $g^{su}$ в выражениях (10) и (11)

Градиентно-деформационные коэффициенты  $g^{uu}$  и  $g^{su}$  в этой работе мы тоже будем вычислять

только для  $s = 0$  и  $s = 1$ , т. е. для аустенита и мартенсита, указывая это индексом  $a$  или  $m$ , например:  $\mathbf{g}_a^{uu} = g_{\alpha\beta,\gamma\delta\lambda\mu}^{uu,a}$ ,  $\mathbf{g}_m^{su} = g_{\alpha,\beta\gamma\delta}^{su,m}$ . Для других  $s$ , как и в расчетах  $\mathbf{g}^{ss}$ , будем использовать те или иные интерполяции между двумя этими значениями коэффициентов.

Начнем с обсуждения коэффициентов  $g_{\alpha\beta,\gamma\delta\lambda\mu}^{uu}$ . Поскольку в нашем подходе как сами компоненты тензора дисторсии  $\nabla_\beta u_\alpha$ , так и их градиенты  $\nabla_{\beta\gamma}^2 u_\alpha$  считаются малыми, для расчетов  $\mathbf{g}^{uu,a}$  и  $\mathbf{g}^{uu,m}$  можно снова исходить из выражения (46) для изменения энергии ГЦК- или ОЦК-кристалла при малых смещениях атомов из положений равновесия, только нужно учесть также и малость градиентов этих смещений. Это означает, что если в формуле (46) обозначить координату  $\mathbf{r}'$  как  $(\mathbf{r} - \mathbf{R})$ , то смещения  $\mathbf{u}_{\mathbf{r}'}$  можно разложить в ряд по степеням градиентов смещений  $\mathbf{u}_{\mathbf{r}}$ . Если учесть также четность по  $\mathbf{R}$  матрицы силовых постоянных как в аустените, так и в мартенсите,  $A^{\alpha\beta}(\mathbf{R}) = A^{\alpha\beta}(-\mathbf{R})$ , то нечетные по  $\mathbf{R}$  члены в этом разложении выпадают, и выражение (46) примет вид

$$\delta U = \frac{1}{2} \sum_{\mathbf{r}} u_{\mathbf{r}}^\alpha \sum_{\mathbf{R}} A^{\alpha\beta}(\mathbf{R}) \times \times \left( 1 + \frac{R_\gamma R_\delta}{2} \nabla_{\gamma\delta}^2 + \frac{R_\gamma R_\delta R_\lambda R_\mu}{24} \nabla_{\gamma\delta\lambda\mu}^4 \right) u_{\mathbf{r}}^\beta. \quad (89)$$

Используя формулы суммирования Эйлера–Маклорена, суммы по  $\mathbf{r}$  в этом выражении можно преобразовать в интегралы по объему, как это подробно обсуждалось в работе [6] при выводе формул (40)–(48). При этом сумма по  $\mathbf{R}$  в первом члене полученного разложения равна нулю вследствие трансляционной инвариантности (неизменности энергии кристалла при однородном смещении всех атомов), а второй член соответствует энергии однородных деформаций (см., например, [19]), которую в формулах (1) и (2) мы описываем выражением (4) для  $f_u$ . Последний, третий член разложения (89) соответствует градиентному члену  $G_{uu}$  в формулах (2) и (10). Сравнивая эти формулы с выражением (89), приходим к следующему общему выражению для градиентных коэффициентов  $\mathbf{g}_a^{uu}$  и  $\mathbf{g}_m^{uu}$ :

$$g_{\alpha\beta,\gamma\delta\lambda\mu}^{uu} = \frac{1}{48} \sum_{\mathbf{R}} A^{\alpha\beta}(\mathbf{R}) R_\gamma R_\delta R_\lambda R_\mu, \quad (90)$$

где для коэффициентов  $\mathbf{g}_a^{uu}$  сумма в правой части берется по решетке аустенита, а для  $\mathbf{g}_m^{uu}$  — по решетке мартенсита. При использовании матриц силовых постоянных (51) с параметрами Борна–Кармана из

табл. 9 эти суммы вычисляются так же, как суммы (49) и (56).

При расчетах коэффициентов  $\mathbf{g}^{su}$  мы также будем исходить из выражения (46) для изменений энергии кристалла при малых смещениях атомов. Однако здесь мы считаем, что эти смещения состоят из двух вкладов: вклада смещений в каждой  $m$ -й плотноупакованной плоскости,  $\mathbf{u}_m(\mathbf{r})$ , который при малых  $s$  описывается выражением (48) с малым и слабонеоднородным параметром превращения  $s = s(\mathbf{r})$ , и вклада малых и слабонеоднородных «акустических» смещений всех атомов кристалла,  $\mathbf{u}_a(\mathbf{r})$ :

$$u(\mathbf{r}) = \mathbf{p}_m s(\mathbf{r}) + \mathbf{u}_a(\mathbf{r}). \quad (91)$$

После подстановки этих выражений для  $\mathbf{u}_r$  и  $\mathbf{u}_{r'}$  в формулу (46) интересующее нас слагаемое, билинейное по  $s$  и  $\mathbf{u}_a$ , примет вид

$$\delta U_{su} = \frac{1}{6} \sum_{m,\mathbf{r},\mathbf{r}'} p_m^\alpha s(\mathbf{r}) A^{\alpha\beta}(\mathbf{r} - \mathbf{r}') u_a^\beta(\mathbf{r}'), \quad (92)$$

где множитель  $1/6$  введен для того, чтобы суммирование по всем значениям  $m$  и  $\mathbf{r}$ , соответствующим разным плоскостям  $m$ , давало верный результат для полной энергии (46). После перехода от  $\mathbf{r}'$  к переменной  $\mathbf{R} = (\mathbf{r} - \mathbf{r}')$  слабонеоднородные функции  $\mathbf{u}_a(\mathbf{r}')$  можно разложить в ряд по градиентам так же, как выше в формулах (89). Это дает

$$\begin{aligned} \delta U_{su} = & \sum_m p_m^\alpha \sum_{\mathbf{r}} s(\mathbf{r}) \sum_{\mathbf{R}} A^{\alpha\beta}(\mathbf{R}) \times \\ & \times \left[ \frac{1}{6} + \frac{1}{12} (R_\gamma R_\delta) \nabla_{\gamma\delta}^2 + \right. \\ & \left. + \frac{1}{144} (R_\gamma R_\delta R_\lambda R_\mu) \nabla_{\gamma\delta\lambda\mu}^4 \right] u_a^\beta(\mathbf{r}). \end{aligned} \quad (93)$$

Вследствие условия (35), первый сомножитель в этом выражении равен нулю. Поэтому обсуждаемый вклад в энергию, билинейный по параметру  $s$  и по градиентам акустических смещений, обращается в нуль. Это отражает ортогональность фононных состояний, обсуждавшихся в разд. 5.3, при разных волновых векторах  $\mathbf{k}$ :  $\mathbf{k} = \mathbf{k}_n \neq 0$ , соответствующих обсуждавшемуся выше тасованию плоскостей, и малых  $\mathbf{k} \rightarrow 0$ , соответствующих слабонеоднородным деформациям.

Из этого результата следует, что разложение коэффициентов  $\mathbf{g}^{su}$  по степеням  $s$  в плотности свободной энергии (2) начинается только с членов, линейных по  $s$ , а при  $s = 0$  эти коэффициенты обращаются в нуль. То же, очевидно, справедливо и при малых  $(1-s)$  для разложений  $\mathbf{g}^{su}$  по степеням  $(1-s)$ ,

что в формулах (91)–(93) соответствует только замене  $s$  на  $(1-s)$  и  $\mathbf{p}_m$  на  $\tilde{\mathbf{p}}_m$ .

В то же время для остальных градиентных коэффициентов,  $\mathbf{g}^{ss}$  и  $\mathbf{g}^{uu}$ , таких «симметрийных» ограничений нет, и эти коэффициенты имеют обсуждавшиеся выше ненулевые значения как в аустените, так и в мартенсите. Поэтому если использовать для всех рассматриваемых градиентных коэффициентов одни и те же линейные интерполяции между их значениями при  $s = 0$  и при  $s = 1$  (что для используемого простейшего подхода кажется последовательным), то градиентные коэффициенты  $\mathbf{g}^{su}$  в (2) следует считать равными нулю. Это приближение и будет использоваться ниже.

Заметим также, что результаты наших расчетов, описываемые ниже, показывают, что вклад в свободную энергию (2) градиентно-деформационного слагаемого  $G_{uu}$  из (10), вычисленный на основе выражения (90), оказывается пренебрежимо малым сравнительно со вкладом «основного» градиентного члена  $G_{ss}$ , билинейного по градиентам параметра превращения. И поскольку величина «смешанного» градиентно-деформационного члена  $G_{su}$  в (11) кажется сходной с величиной  $G_{uu}$  (так, из дальнейшего видно, что при малых  $s$  или  $(1-s)$  эти члены имеют сходную зависимость от  $s$  типа  $s^2(1-s)^2$ ), указанная малость  $G_{uu}$  кажется дополнительным аргументом в пользу пренебрежения вкладом  $G_{su}$ .

### 6.3. Оценка тензора поворота $\varepsilon_{\alpha\beta}(s)$

Результаты разд. 6.2 можно использовать для оценок зависимости от параметра превращения  $s$  тензора поворота  $\varepsilon_{\alpha\beta}(s) = (\partial u_\alpha / \partial x_\beta - \partial u_\beta / \partial x_\alpha) / 2$ . Значения  $\varepsilon_{\alpha\beta}$ , минимизирующие функционал (1), вообще говоря, должны находиться из решения вариационных уравнений (17)–(21). В то же время, вследствие независимости энергии от однородных поворотов всей системы, эти уравнения содержат не сами компоненты  $\varepsilon_{\alpha\beta}$ , а только их градиенты, описывающие кручение, т. е. величины  $\nabla_\gamma \varepsilon_{\alpha\beta}$  в уравнениях (17) и (18), или производные  $\varepsilon'_{\alpha\beta} = d\varepsilon_{\alpha\beta} / d\xi$  в уравнениях (20) и (21). Поэтому в используемом нами нулевом приближении, в котором последние слагаемые в квадратных скобках в уравнениях (20) и (21) отбрасываются, величины  $\varepsilon'_{\alpha\beta}$  из уравнений выпадают. Они входят только в поправочные члены, т. е. в упомянутые последние слагаемые уравнений (20) и (21), количественная оценка которых затруднена обсуждавшимся выше отсутствием экспериментальной информации о градиентных коэффициентах  $\mathbf{g}^{su}$ . Поэтому ниже мы ограничимся только

оценкой зависимостей  $\varepsilon_{\alpha\beta}(s)$  при малых  $s$  или  $(1-s)$ , аналогичной полученной выше для тензора  $\sigma_{\alpha\beta}(s)$  в (8).

Рассмотрим сначала область малых  $s$  и обсудим, как меняются с  $s$  в этой области разные слагаемые в квадратных скобках в уравнении (21). Согласно результатам нулевого приближения (24) и (27), обе производные,  $s'$  и  $s''$  при малых  $s$  пропорциональны  $s$ , и градиентные коэффициенты  $\mathbf{g}^{su}$ , как отмечено выше, здесь тоже линейны по  $s$ . В то же время коэффициенты  $\mathbf{g}^{uu}$  при  $s \rightarrow 0$  имеют конечные ненулевые значения (90). Поэтому, для того чтобы все члены в квадратных скобках в уравнении (21) при малых  $s$  имели один и тот же порядок величины (т. е. чтобы эта квадратная скобка могла обращаться в нуль), члены с  $\varepsilon'_{\alpha\beta}$  здесь должны быть пропорциональны  $s^2$ . Из этого следует, что и само  $\varepsilon_{\alpha\beta}(s)$  должно быть пропорционально  $s^2$ , поскольку при этом  $\varepsilon'_{\alpha\beta} \sim ss' \sim s^2$ . Аналогичные рассуждения справедливы, очевидно, и в области малых  $(1-s)$ , где они приводят к соотношению  $\varepsilon_{\alpha\beta}(s) - \varepsilon_{\alpha\beta}(1) \sim (1-s)^2$ .

Эти соображения показывают, что зависимости тензора поворота  $\varepsilon_{\alpha\beta}(s)$  от  $s$  при малых  $s$  или  $(1-s)$  совершенно аналогичны тем, которые получены выше для тензора  $\sigma_{\alpha\beta}(s)$  в (8). Поэтому, если и для  $\varepsilon_{\alpha\beta}(s)$  использовать интерполяцию полиномом от  $s$  минимально возможной, третьей степени, то эта интерполяция должна иметь тот же вид, что в уравнении (8):

$$\varepsilon_{\alpha\beta}(s) = s^2(3 - 2s)\varepsilon_{\alpha\beta}^m, \quad (94)$$

где значение  $\varepsilon_{\alpha\beta}^m = \varepsilon_{\alpha\beta}(1)$  соответствует мартенситу.

Как обсуждалось в работе [7], при превращении аустенита в мартенсит с ориентационными соотношениями Нишиямы (N-мартенсит), обсуждаемый поворот отсутствует, т. е.  $\varepsilon_{\alpha\beta}^m = 0$ . В то же время при превращении в мартенсит с ориентационными соотношениями Курдюмова–Закса (KS-мартенсит), такой поворот происходит, и тензор  $\varepsilon_{\alpha\beta}^m$  в (94) можно ковариантно записать так:

$$\varepsilon_{\alpha\beta}^m = \varepsilon_{\alpha\beta\gamma}e_z^\gamma\varphi_m. \quad (95)$$

Здесь  $\varepsilon_{\alpha\beta\gamma}$  — единичный полностью асимметричный тензор, а вектор  $e_z = \mathbf{h}/h$  тот же, что в (44). Величина  $\varphi_m$  в (95) есть полный угол поворота для KS-мартенсита, и согласно формулам (22) из работы [7], он имеет такое значение:

$$\varphi_m = \left(\sqrt{3} - \sqrt{2}\right) / \left(\sqrt{6} + 1\right) \approx 0.092. \quad (96)$$

#### 6.4. Расчет градиентно-деформационных вкладов в эффективный градиентный коэффициент $g_{eff}^{ss}$

Как отмечалось в разд. 4, вклад градиентно-деформационных членов  $G_{uu}$  и  $G_{su}$  в энергию МФГ  $\sigma$ , даваемую интегралом (14), в нашем подходе можно находить по теории возмущений, подставляя в выражения для  $G_{uu}$  и  $G_{su}$  в свободной энергии  $f_{tot}$  в интеграле (14) значения тензора дисторсии  $u_{\alpha,\beta}(s)$ , найденные в нулевых приближениях (5)–(7) и (94). Ниже показано, что возникающая при этом поправка оказывается весьма малой. Поэтому вместо детальных расчетов этой поправки мы ограничимся ее оценкой, пренебрегая в формулах (5)–(7) различием в модулях упругости мартенсита и аустенита, т. е. считая  $c_{\alpha\beta\gamma\delta}^m = c_{\alpha\beta\gamma\delta}^a$  (как отмечалось в работе [7], в случае железа это приближение может быть неплохим и количественно). Тогда зависимость тензора деформации  $u_{\alpha\beta}^e$  от параметра превращения  $s$  в (6) принимает простой вид, аналогичный зависимости  $\sigma_{\alpha\beta}(s)$  в (8) или  $\varepsilon_{\alpha\beta}(s)$  в (94):

$$u_{\alpha\beta}^e(s) = s^2(3 - 2s) u_{\alpha\beta}^m, \quad (97)$$

где  $u_{\alpha\beta}^m$  — деформации мартенсита, которые можно ковариантно записать так:

$$u_{\alpha\beta}^m = u_1 \tilde{e}_x^\alpha \tilde{e}_x^\beta + u_2 \tilde{e}_y^\alpha \tilde{e}_y^\beta + u_3 e_z^\alpha e_z^\beta. \quad (98)$$

Здесь величины  $u_{1,2,3}$  те же, что в (44); вектор  $e_z$  тот же, что в (44); векторы  $\tilde{e}_x$  и  $\tilde{e}_y$  для N-мартенсита совпадают с  $e_x$  и  $e_y$  в (44), а для KS-мартенсита они, по формулам (22) из работы [7], соответствуют повороту этих  $e_x$  и  $e_y$  на угол  $\varphi_m$  из (96):

$$\begin{aligned} \tilde{e}_x &= e_x \cos \varphi_m - e_y \sin \varphi_m, \\ \tilde{e}_y &= e_x \sin \varphi_m + e_y \cos \varphi_m. \end{aligned} \quad (99)$$

В приближениях (97) и (94), градиенты тензора дисторсии  $\nabla_{\beta\gamma}^2 u_\alpha = \nabla_\gamma u_{\alpha\beta}$ , входящие в два последних члена свободной энергии (12), даются простым выражением:

$$\begin{aligned} \nabla_{\beta\gamma}^2 u_\alpha &= \nabla_\gamma [u_{\alpha\beta}^e(s) + \varepsilon_{\alpha\beta}(s)] = \\ &= 6s(1-s)(u_{\alpha\beta}^m + \varepsilon_{\alpha\beta}^m)\nabla_\gamma s. \end{aligned} \quad (100)$$

Как обсуждалось в разд. 6.2, в используемой интерполяционной модели коэффициенты  $g^{su}$  равны нулю. Тогда подстановка выражения (100) в последнее слагаемое формулы (12) приводит просто к эффективной перенормировке градиентных коэффициен-

тов «нулевого» приближения  $g^{ss}$  на их эффективные значения  $g_{eff}^{ss}$ , определенные равенствами

$$g_{eff}^{ss} = g^{ss} + [6s(1-s)]^2 g_u. \quad (101)$$

Здесь второе слагаемое описывает градиентно-деформационный вклад, а тензор  $g_u = g_u^{\alpha\beta}$  выражается через исходный тензор  $g_{\alpha\beta,\gamma\delta\lambda\mu}^{uu}(s)$  в равенствах (10) или (12) так:

$$g_u^{\alpha\beta} = g_{\gamma\lambda,\alpha\beta\delta\mu}^{uu}(u_{\gamma\delta}^m + \varepsilon_{\gamma\delta}^m)(u_{\lambda\mu}^m + \varepsilon_{\lambda\mu}^m). \quad (102)$$

Тензор  $g_u$  для перехода в N-мартенсит (т. е. при  $u_{\gamma\delta}^m$ , даваемом выражением (98), и  $\varepsilon_{\gamma\delta}^m = 0$ ) ниже обозначается как  $g_u^N$ , а для перехода в KS-мартенсит (т. е. при  $u_{\gamma\delta}^m$ , даваемом выражением (98), и  $\varepsilon_{\gamma\delta}^m$ , даваемом выражением (94)) — как  $g_u^{KS}$ . Расчеты  $g_u^N$  или  $g_u^{KS}$  по соотношениям (102) с коэффициентами  $g_{\alpha\beta,\gamma\delta\lambda\mu}^{uu} = g_{\alpha\beta,\gamma\delta\lambda\mu}^{uu,a}$ , даваемыми выражениями (90) для ГЦК-железа, будут указываться нижним индексом  $a$ , а расчеты с коэффициентами  $g_{\alpha\beta,\gamma\delta\lambda\mu}^{uu} = g_{\alpha\beta,\gamma\delta\lambda\mu}^{uu,m}$  для ОЦК-железа — индексом  $m$ , например:  $g_{ua}^N$ ,  $g_{um}^{KS}$  и т. д. Результаты этих расчетов приводятся ниже в табл. 7.

#### 7. ХАРАКТЕРИСТИКИ СВОБОДНОЙ ЭНЕРГИИ НА АТОМ $f_{tot}$

В этом разделе мы приводим различные характеристики свободной энергии на атом  $f_{tot}$  в (12), вычисленные методами, описанными в разд. 5 и 6. В качестве единицы энергии обычно будет использоваться Кельвин, а в качестве единицы длины — постоянная решетки «остаточного» аустенита  $a_\gamma$ , для которой мы будем использовать ее экспериментальное значение при 20° С:  $a_\gamma = 3.555 \text{ \AA}$  [1]. Для постоянной решетки ОЦК-железа используется значение  $a_\alpha = 2.866 \text{ \AA}$  [1].

В табл. 4 мы приводим значения величин  $\nu_{n\lambda} = M\omega_\lambda^2(\mathbf{k}_n)$ , взятые из экспериментов [12–14] и используемые во всех расчетах настоящей работы. В табл. 5 приводятся постоянные  $c_a$  и  $c_m$  в выражении (3) для  $f_s$ . Они вычислялись по соотношениям (49) и (56) или (71) и (73), с использованием для матриц силовых постоянных выражений (51) с параметрами Борна–Кармана, оцененными в экспериментах [12–14] и приведенными ниже в табл. 9.

Из табл. 5 следует, в частности, что для двух путей превращения,  $(\gamma \rightarrow \alpha)_1$  и  $(\gamma \rightarrow \alpha)_2$ , соответствующих двум разным наборам векторов  $\mathbf{r}_m$  и  $\tilde{\mathbf{r}}_m$  в табл. 1, результаты для  $c_a$  очень близки, а для  $c_m$

Таблица 5. Значения постоянных  $c_a$  и  $c_m$  в выражении (3) для  $f_s$  при различных температурах

|                     | $c_a$                          |                                | $c_m$                             |                                   |                                   |                                   |
|---------------------|--------------------------------|--------------------------------|-----------------------------------|-----------------------------------|-----------------------------------|-----------------------------------|
|                     | 1428                           | 293                            | 773                               | 1043                              | 1173                              |                                   |
| Температура, К      |                                |                                |                                   |                                   |                                   |                                   |
| Путь превращения    | $(\gamma \rightarrow \alpha)1$ | $(\gamma \rightarrow \alpha)2$ | $(\gamma \rightarrow \alpha)1, 2$ |
| $c_a$ или $c_m$ , К | 12800                          | 12970                          | 30680                             | 26080                             | 20140                             | 19860                             |

Таблица 6. Величины  $g_a^{\alpha\beta}$  и  $g_m^{\alpha\beta}$  (в  $\text{K} \cdot a_{\gamma}^2$ ), рассчитанные по соотношениям (75) и (76). Нижний индекс «1» или «2» у  $g_a$  или  $g_m$  означает расчет для пути превращения  $(\gamma \rightarrow \alpha)1$  или  $(\gamma \rightarrow \alpha)2$ . Для  $g_a^{zz}$  в квадратных скобках даны значения, рассчитанные с использованием соотношения (87) вместо (88)

| $T = 1428 \text{ K}$  | $T = 293 \text{ K}$  | $T = 773 \text{ K}$  |
|---|--|--|
| $\mathbf{g}_{a1} = \begin{pmatrix} 3458 & 0 & 0 \\ 0 & 4125 & 185 \\ 0 & 185 & 162 [1937] \end{pmatrix}$<br>$\mathbf{g}_{a2} = \begin{pmatrix} 3523 & 0 & 0 \\ 0 & 3275 & 351 \\ 0 & 351 & -67 [524] \end{pmatrix}$ | $\mathbf{g}_{m1} = \begin{pmatrix} 4206 & 0 & 0 \\ 0 & 4911 & 0 \\ 0 & 0 & 653 \end{pmatrix}$<br>$\mathbf{g}_{m2} = \begin{pmatrix} 4186 & 0 & 0 \\ 0 & 4077 & 0 \\ 0 & 0 & 647 \end{pmatrix}$ | $\mathbf{g}_{m1} = \begin{pmatrix} 3857 & 0 & 0 \\ 0 & 5541 & 0 \\ 0 & 0 & 551 \end{pmatrix}$<br>$\mathbf{g}_{m2} = \begin{pmatrix} 3830 & 0 & 0 \\ 0 & 4627 & 0 \\ 0 & 0 & 640 \end{pmatrix}$ |

| $T = 1043 \text{ K}$   | $T = 1173 \text{ K}$   |
|--|--|
| $\mathbf{g}_{m1} = \begin{pmatrix} 3241 & 0 & 0 \\ 0 & 4887 & 0 \\ 0 & 0 & 424 \end{pmatrix}$<br>$\mathbf{g}_{m2} = \begin{pmatrix} 3197 & 0 & 0 \\ 0 & 4003 & 0 \\ 0 & 0 & 565 \end{pmatrix}$ | $\mathbf{g}_{m1} = \begin{pmatrix} 3057 & 0 & 0 \\ 0 & 4816 & 0 \\ 0 & 0 & 153 \end{pmatrix}$<br>$\mathbf{g}_{m2} = \begin{pmatrix} 2949 & 0 & 0 \\ 0 & 3877 & 0 \\ 0 & 0 & 342 \end{pmatrix}$ |

они строго совпадают:  $c_m[(\gamma \rightarrow \alpha)1] = c_m[(\gamma \rightarrow \alpha)2]$ . Эта близость или совпадение результатов связаны с наличием в используемых моделях Борна–Кармана с короткодействием определенных соотношений между частотами  $\omega_{\lambda}(\mathbf{k}_6)$ ,  $\omega_{\lambda}(\mathbf{k}_3)$  и  $\omega_{\lambda}(\mathbf{k}_2)$ , входящими в формулы (71) и (73), подробно обсуждаемых в работе [20].

В табл. 6 мы приводим результаты расчетов градиентных коэффициентов  $g_a^{\alpha\beta}$  и  $g_m^{\alpha\beta}$  по соотношениям (75) и (76), т. е. на основе интерполяций матриц силовых постоянных ГЦК- и ОЦК-железа параметрами Борна–Кармана, указанными ниже в табл. 9. Для элементов  $g_a^{zz}$ , в соответствии с обсуждением в разд. 6.1, в квадратных скобках даны также значения, рассчитанные с использованием для вклада

$\nu''_{2T}$  в формуле (83) его экспериментального значения (87) вместо интерполяции Борна–Кармана (88).

Таблица 6 показывает, во-первых, что градиентные коэффициенты  $g^{zz}$  как в ГЦК-, так и в ОЦК-железе являются намного меньшими, чем коэффициенты  $g^{xx}$  и  $g^{yy}$ . Согласно формулам (9) и (22), эта малость отражает относительную легкость возникновения неоднородных смещений («скольжений») плотноупакованных атомных плоскостей друг относительно друга, т. е. возникновения дефектов упаковки различного типа. Это приводит к существенной анизотропии различных характеристик МФГ, обсуждаемой в разд. 8. При этом значения немалых градиентных коэффициентов  $g^{xx}$  и  $g^{yy}$  не слишком чувствительны к замене пути превращения  $(\gamma \rightarrow \alpha)1$

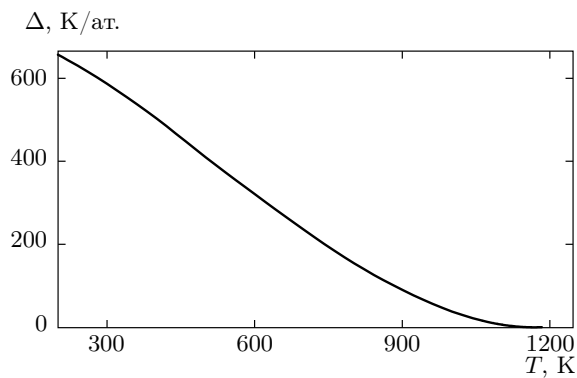


Рис. 1. Экспериментальные значения разности  $\Delta$  свободных энергий на атом между  $\gamma$ - и  $\alpha$ -железом:  $\Delta(T) = f_s(0) - f_s(1)$ , взятые из табл. 1 работы [15]

на  $(\gamma \rightarrow \alpha)2$ , меняясь при этом примерно на 20 %. В то же время малые компоненты  $g^{zz}$  меняются при такой замене намного сильнее. Так, в ГЦК-фазе экспериментальные значения  $g_{a2}^{zz}$  оказываются почти в четыре раза меньшими, чем аналогичные экспериментальные значения  $g_{a1}^{zz}$ . Как видно из формул (29)–(34) и из дальнейшего (в частности, из табл. 8), это приводит к существенно меньшим значениям энергии и толщины МФГ с ориентацией  $\mathbf{n}$ , близкой к  $\mathbf{e}_z$ , для пути превращения  $(\gamma \rightarrow \alpha)2$  сравнительно с путем  $(\gamma \rightarrow \alpha)1$ .

В табл. 7 приводятся значения тензоров  $\mathbf{g}_u^N$  и  $\mathbf{g}_u^{KS}$ , определяющих градиентно-деформационные поправки к полному эффективному градиентному коэффициенту  $\mathbf{g}_{eff}^{ss}$  в (101), для аустенита (они обозначаются как  $\mathbf{g}_{ua}^N$  или  $\mathbf{g}_{ua}^{KS}$ ) при  $T = 1428$  К, и для мартенсита (они обозначаются как  $\mathbf{g}_{um}^N$  или  $\mathbf{g}_{um}^{KS}$ ) при  $T = 773$  К. Значения  $\mathbf{g}_{um}^N$  и  $\mathbf{g}_{um}^{KS}$  при других  $T = 293$  К, 1043 К, 1173 К имеют тот же порядок величины, что при  $T = 773$  К. Сравнивая значения  $\mathbf{g}_u$  в табл. 7 со значениями  $\mathbf{g}^{ss}$ , даваемыми табл. 6, мы видим, что поправки, связанные с  $\mathbf{g}_u$ , являются на два–три порядка меньшими, чем результаты нулевого приближения  $\mathbf{g}^{ss}$ . Поэтому ниже эти градиентно-деформационные поправки к  $\mathbf{g}^{ss}$  в (101) не учитываются.

Обсудим теперь вид функции  $f_s(s)$  в выражении (2), описывающей потенциальный барьер для однородного превращения ГЦК-фазы в ОЦК. Согласно соотношению (3), эта функция определяется значениями трех параметров:  $c_a$ ,  $c_m$  и  $\Delta$ , каждый из которых зависит от температуры  $T$ . Функция  $\Delta(T)$  есть разность свободных энергий на атом между  $\gamma$ - и

$\alpha$ -железом, для которой мы используем экспериментальные значения из табл. 1 в книге [15], показанные на рис. 1. Видно, что для обсуждаемых ниже температур  $T \approx 700$ –800 К эта функция существенно меняется с  $T$ . Константы  $c_m$ , указанные в табл. 5, тоже заметно зависят от температуры, возрастая с ее понижением. Поэтому значения  $c_m(T)$  для рассматривавшихся температур находились с использованием интерполяции (полиномом третьей степени) между значениями, указанными в табл. 5. В то же время для константы  $c_a$  известны только данные для  $T = 1428$  К, указанные в табл. 5. Поэтому, хотя температурная зависимость  $c_a(T)$  в рассматриваемой нами фазе остаточного аустенита возможна и вероятна, ниже мы не учитываем эту зависимость и используем для  $c_a$  постоянные значения из табл. 5. Опыт расчетов, описываемых ниже, позволяет предположить, что учет возможной зависимости  $c_a(T)$  вряд ли заметно изменит вид функции  $f_s(s)$  при интересующих нас  $T \approx 700$ –800 К.

Мартенситные превращения в железе и малоуглеродистых сталях реализуются только при очень высоких скоростях охлаждения:  $v \gtrsim 10^3$ – $10^4$  К/с [3]. При этом, согласно данным работы [22] (подробно обсуждаемым в [3]), переход в состояние пластинчатого (plate) мартенсита в железе происходит при  $T = T_{mp} = 693$  К, а в состояние «речного» (lath) мартенсита — при  $T = T_{ml} = 818$  К. Поскольку эффекты пластической деформации, характерные для образования речного мартенсита, в настоящей работе не учитываются, наши результаты могут непосредственно применяться только к пластинчатому мартенситу, в котором эффекты пластической деформации малы [1]. Поэтому результаты расчетов ниже приводятся в основном только для  $T = 693$  К, а некоторые результаты для  $T = 818$  К указываются только для иллюстрации. Отметим также, что значения разности свободных энергий на атом  $\Delta(T)$  на рис. 1 для  $T = 693$ , 818 К равны соответственно 241 и 143 К.

На рис. 2 показаны кривые  $f_s(s)$  при  $T = 693$  К и  $T = 818$  К. Эти кривые (так же, как результаты для других температур, которые здесь не приводятся) показывают, что высота потенциального барьера  $f_{max}$  обычно слабо меняется с температурой и имеет примерно постоянное значение  $f_{max} \approx 530$  К, несмотря на упоминавшиеся существенные температурные зависимости  $\Delta(T)$  и  $c_m(T)$ . Это связано с тем, что в величине  $f_{max}$  обе эти зависимости, т. е. рост с понижением  $T$  как величины  $\Delta(T)$ , так и константы  $c_m(T)$ , в большой степени компенсиру-

Таблица 7. Компоненты тензоров  $\mathbf{g}_u^N$  и  $\mathbf{g}_u^{KS}$  (в  $K \cdot a_\gamma^2$ ) в выражении (102)

| $T = 1428$ K  | $T = 773$ K  |
|---|--|
| $\mathbf{g}_{ua}^N = \begin{pmatrix} -38 & 0 & 0 \\ 0 & 6 & 3 \\ 0 & 3 & -0.1 \end{pmatrix}$      | $\mathbf{g}_{um}^N = \begin{pmatrix} -21 & 0 & 0 \\ 0 & -2 & 0 \\ 0 & 0 & -8 \end{pmatrix}$        |
| $\mathbf{g}_{ua}^{KS} = \begin{pmatrix} -26 & 13 & 5 \\ 13 & 18 & 3 \\ 5 & 3 & 0.7 \end{pmatrix}$ | $\mathbf{g}_{um}^{KS} = \begin{pmatrix} -15 & -13 & 0 \\ -13 & 14 & 0 \\ 0 & 0 & -5 \end{pmatrix}$ |

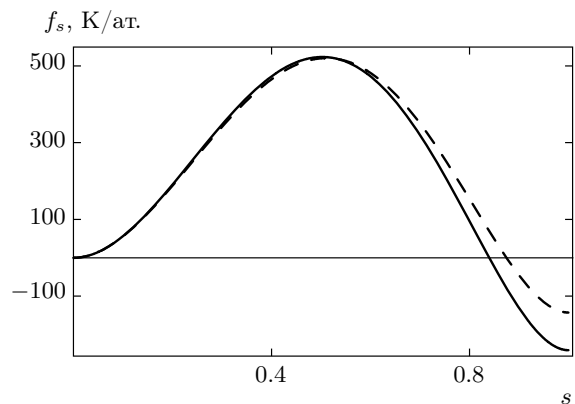


Рис. 2. Функции  $f_s(s)$ , рассчитанные по соотношениям (3), как описано в тексте, при  $T = 693$  K (сплошная линия) и при  $T = 818$  K (штриховая линия). Для путей превращения  $(\gamma \rightarrow \alpha)_1$  и  $(\gamma \rightarrow \alpha)_2$  функции  $f_s(s)$  с графической точностью совпадают

ются. Рисунок 2 и значение  $s_0$ , указанное в подпункти к рис. 3 ниже, показывают также, что положение максимума функции  $f_s(s)$  (которое, как обсуждалось в разд. 3, принимается нами за положение центра МФГ  $s_0 = s(\xi = 0)$ ) весьма близко к значению  $s_0^0 = 0.5$ , соответствующему температуре равновесия фаз  $T_{\alpha\gamma}^e = 1184$  K (в которой  $\Delta = 0$ ), хотя при рассматриваемых нами температурах функции  $f_s(s)$ , как видно на рис. 2, в целом существенно асимметричны относительно точки  $s = 0.5$ .

## 8. РЕЗУЛЬТАТЫ РАСЧЕТОВ СВОЙСТВ МЕЖФАЗНЫХ ГРАНИЦ МЕЖДУ АУСТЕНИТОМ И МАРТЕНСИТОМ В ЖЕЛЕЗЕ

В этом разделе приводятся результаты расчетов ряда характеристик межфазных границ между аустенитом и мартенситом в железе, включая про-

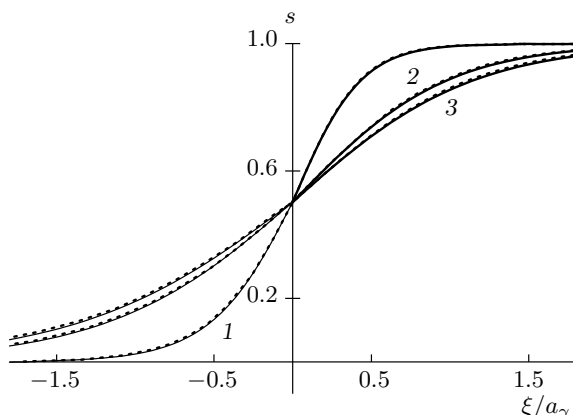
фили параметра превращения  $s(\xi)$  в области МФГ, ширины МФГ  $w$  и их поверхностные энергии  $\sigma$ , для различных ориентаций  $\mathbf{n}$  этих границ. Наши расчеты будут основаны на общих соотношениях (28)–(31) разд. 4 и будут использовать значения параметров ОФГЛ, вычисленные методами разд. 5 и 6 и приведенные в разд. 7.

Как обсуждалось в разд. 7, деформационные поправки к эффективному градиентному коэффициенту  $\mathbf{g}_{eff}^{ss}$  в (101) пренебрежимо малы. Поэтому все рассматриваемые характеристики МФГ можно рассчитывать по формулам (28)–(31), используя для градиентных коэффициентов  $\mathbf{g}^{ss}(s)$  те или иные интерполяции между их значениями при  $s = 0$  и  $s = 1$ . Эти значения,  $\mathbf{g}^{ss}(0)$  и  $\mathbf{g}^{ss}(1)$ , даются соответственно матрицами  $\mathbf{g}_a$  и  $\mathbf{g}_m$  в табл. 6. Ниже мы будем использовать две формы таких интерполяций: линейная интерполяция (A) и простое усреднение (B):

$$(A) \quad \mathbf{g}^{ss}(s) = \mathbf{g}_a + s(\mathbf{g}_m - \mathbf{g}_a); \quad (103)$$

$$(B) \quad \mathbf{g}^{ss} = (\mathbf{g}_a + \mathbf{g}_m)/2.$$

Заметим, что линейная интерполяция (A) описывает эффекты асимметрии функции  $f(s)$  относительно «средней» точки  $s = 0.5$ , вообще говоря, намного точнее, чем простое усреднение (B). Поэтому близость результатов приближений (A) и (B) может указывать на то, что для описания рассматриваемых характеристик МФГ оба этих приближения оказываются достаточно точными. Наши вычисления показали, что для интегральных характеристик МФГ, таких как их ширины  $w$  и поверхностные энергии  $\sigma$ , результаты расчетов с использованием приближений (A) и (B) при всех исследованных ориентациях  $\mathbf{n}$  и температурах  $T$  различаются не более, чем на доли процента, т. е. практически совпадают. Для профилей параметра порядка  $s(\xi)$  различия оказываются несколько большими, поскольку в них эффекты асимметрии функции  $f(s)$  проявляются сильнее,

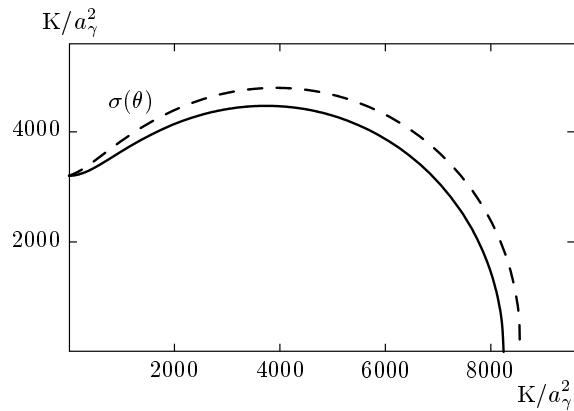


**Рис. 3.** Профили параметров порядка  $s(\xi)$  внутри МФГ при  $T = 693$  К, вычисленные по соотношениям (28) и (103-А) (сплошные линии) или (103-В) (пунктирные линии), для пути превращения  $(\gamma \rightarrow \alpha)_2$ . Кривые 1 соответствуют направлению  $\mathbf{n} = (001)$ , кривые 2 — направлению  $\mathbf{n} = (111)$  и кривые 3 — направлению  $\mathbf{n} = (110)$ . Значение  $s_0 = s(\xi = 0)$  для всех кривых равно  $s_0 = 0.502$

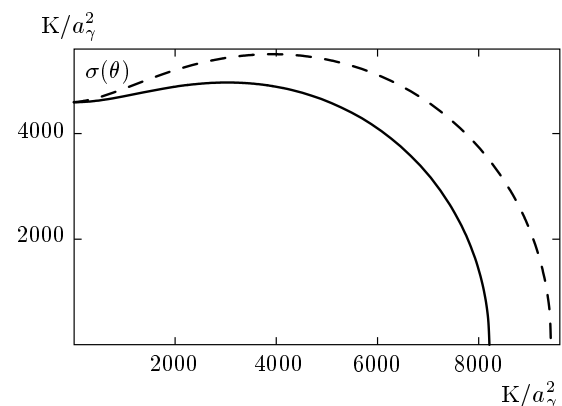
чем в  $w$  и  $\sigma$ , но и для  $s(\xi)$  различия обычно малы. Это иллюстрирует рис. 3, где мы приводим профили  $s(\xi)$  для пути превращения  $(\gamma \rightarrow \alpha)_2$  (который, как обсуждается ниже, представляется наиболее реалистичным) и нескольких ориентаций МФГ, включая ориентацию  $\mathbf{n} = (001)$  (для которой толщина и энергия МФГ, как видно из табл. 8, являются минимальными), и ориентацию  $\mathbf{n} = (110)$ , которая близка к ориентации макроскопических пластин мартенсита в аустените. Видно, что профили  $s(\xi)$ , найденные с помощью простого усреднения (В), очень близки к профилям, вычисленным на основе более точного приближения (А).

В табл. 8 приводятся значения ширин МФГ  $w$  и их поверхностных энергий  $\sigma$  для нескольких симметричных ориентаций МФГ  $\mathbf{n}$ . На рис. 4 и 5 представлены годографы поверхностной энергии  $\sigma(\theta)$ , описывающие зависимость величины  $\sigma$  от ориентации  $\mathbf{n}(\theta)$  при изменении  $\mathbf{n}$  в двух плоскостях наибольшей симметрии: плоскости, проходящей через орты  $\mathbf{e}_x$  и  $\mathbf{e}_z$  в формуле (44), в которой ориентации описываются соотношением  $\mathbf{n}(\theta) = (\cos \theta, 0, \sin \theta)$ , и плоскости, проходящей через орты  $\mathbf{e}_y$  и  $\mathbf{e}_z$  в формуле (44), в которой ориентации описываются соотношением  $\mathbf{n}(\theta) = (0, \cos \theta, \sin \theta)$ .

Обсудим результаты, представленные на рис. 3–5 и в табл. 8. Прежде всего, эти результаты указывают на сильную анизотропию свойств рассматриваемых МФГ. В частности, при ориентациях  $\mathbf{n}$ , близких к



**Рис. 4.** Значения поверхностной энергии МФГ  $\sigma(\theta)$  для пути превращения  $(\gamma \rightarrow \alpha)_2$  при  $T = 693$  К в зависимости от угла  $\theta$  для направлений  $\mathbf{n}_{13} = (\cos \theta, 0, \sin \theta)$  (сплошная линия) и направлений  $\mathbf{n}_{23} = (0, \cos \theta, \sin \theta)$  (штриховая линия), где  $\theta$  — угол между радиус-вектором изображающей точки  $\mathbf{r}(\theta)$  и осью абсцисс, а  $\sigma(\theta) = |\mathbf{r}(\theta)|$



**Рис. 5.** То же, что на рис. 4, но для пути превращения  $(\gamma \rightarrow \alpha)_1$

$\mathbf{e}_z = (111)_\gamma$ , эти границы в два–три раза тоньше, а их поверхностные энергии в 2–2.5 раза меньше, чем для ориентаций, не близких к  $\mathbf{e}_z$ . Как обсуждалось в разд. 6, эта анизотропия обусловлена в основном малостью значений градиентного коэффициента  $g^{zz}$  относительно других градиентных коэффициентов,  $g^{xx}$  и  $g^{yy}$ . Поскольку для пути превращения  $(\gamma \rightarrow \alpha)_2$  значение  $g_a^{zz}$  является почти в четыре раза меньшим, чем для пути  $(\gamma \rightarrow \alpha)_1$ , то и значения ширины МФГ  $w$  и ее поверхностной энергии  $\sigma$  при  $\mathbf{n}$ , близких к  $\mathbf{e}_z$ , для пути превращения  $(\gamma \rightarrow \alpha)_2$  оказываются существенно меньшими, чем для пути  $(\gamma \rightarrow \alpha)_1$ . Таблица 8 и рис. 4 и 5 показывают, что это справедливо также и для почти всех других ори-

**Таблица 8.** Значения ширины МФГ  $w$  и ее поверхностной энергии  $\sigma$  при  $T = 693$  К для различных ориентаций МФГ  $\mathbf{n}$ , вычисленные по соотношениям (29), (31) и (103)

| Путь превращения | $(\gamma \rightarrow \alpha)1$ |                     | $(\gamma \rightarrow \alpha)2$      |                     |                                     |
|------------------|--------------------------------|---------------------|-------------------------------------|---------------------|-------------------------------------|
|                  | Ориентация $\mathbf{n}$        | $w$ (в $a_\gamma$ ) | $\sigma$ (в $\text{K}/a_\gamma^2$ ) | $w$ (в $a_\gamma$ ) | $\sigma$ (в $\text{K}/a_\gamma^2$ ) |
| (100)            |                                | 2.72                | 8210                                | 2.72                | 8243                                |
| (010)            |                                | 3.11                | 9425                                | 2.80                | 8552                                |
| (001)            |                                | 1.58                | 4595                                | 1.06                | 3203                                |
| (110)            |                                | 2.92                | 8839                                | 2.76                | 8400                                |
| (011)            |                                | 2.51                | 7536                                | 2.20                | 6689                                |
| (101)            |                                | 2.23                | 6666                                | 2.06                | 6253                                |

ентаций МФГ.

Эти результаты могут указывать на важность аналогичных эффектов анизотропии в процессах возникновения зародышей мартенсита в аустените. Поскольку с ростом поверхностной энергии  $\sigma$  энергетический барьер  $\Delta F_c$  для образования критического зародыша должен резко расти (скажем, в простейшей модели изотропного сферического зародыша с резким краем мы имеем  $\Delta F_c \propto \sigma^3$ , см., например, [23]), можно ожидать, что при образовании зародышей мартенсита в аустените путь превращения  $(\gamma \rightarrow \alpha)2$  является намного более вероятным, чем путь  $(\gamma \rightarrow \alpha)1$ .

Заметим теперь, что, кроме рассмотренных нами путей превращения  $(\gamma \rightarrow \alpha)1$  и  $(\gamma \rightarrow \alpha)2$  (и пути  $(\gamma \rightarrow \alpha)3$ , эквивалентного  $(\gamma \rightarrow \alpha)2$ ), можно рассматривать и другие возможные пути превращения  $(\gamma \rightarrow \alpha)$ . При этом энергетический барьер  $\Delta F_c$  для каждого из таких путей превращения можно оценивать методами настоящей работы. Но, как подробно обсуждалось в работе [6], пути  $(\gamma \rightarrow \alpha)1$  и  $(\gamma \rightarrow \alpha)2$  кажутся оптимальными из соображений «минимальности относительных сжатий» атомов в плотноупакованных плоскостях, что тоже можно проверять с помощью описанных оценок  $\Delta F_c$ . Оставляя такие оценки для возможных дальнейших исследований, ниже мы используем приведенные физические соображения, согласно которым путь  $(\gamma \rightarrow \alpha)2$  представляется наиболее вероятным. В связи с этим результаты наших расчетов (в частности, приведенные на рис. 3) обсуждаются в основном для пути превращения  $(\gamma \rightarrow \alpha)2$ .

Рассмотрим сначала профили параметра превращения  $s(\xi)$  внутри МФГ, представленные на рис. 3. Видно, во-первых, что в соответствии с приводив-

шимися замечаниями и табл. 8, ширина МФГ для ориентации  $\mathbf{n} = \mathbf{e}_z$  намного меньше, чем для других ориентаций, не близких  $\mathbf{e}_z$ . Заметим теперь, что расстояние между соседними плотноупакованными плоскостями при ориентации  $\mathbf{n} = \mathbf{e}_z$  в ГЦК-фазе составляет только  $\Delta\xi = a_\gamma/\sqrt{3} \approx 0.58a_\gamma$ . Поэтому даже для МФГ с минимальной шириной  $w = 1.05a_\gamma$ , для которой профиль  $s(\xi)$  дается кривой 1 на рис. 3, эта МФГ включает примерно три плотноупакованные плоскости. Поэтому используемое в ОФГЛ (1) основное предположение о гладкости изменения всех рассматриваемых функций на межатомных расстояниях, подразумевающее, в частности, что ширина МФГ заметно превышает расстояние между соответствующими атомными плоскостями, можно считать выполненным. Отметим также, что детальное сравнение расчетов различных характеристик МФГ для дискретной решетки и для используемого в ОФГЛ «непрерывного» приближения, выполненное в работе [9] на примере модели Изинга, показало, что при значениях отношения  $\Delta\xi/w \lesssim 0.5$  все результаты для дискретной решетки практически совпадают с результатами непрерывного приближения. Поэтому точность этого приближения для вопросов, рассматриваемых в настоящей работе, представляется достаточной даже для самых узких МФГ с ориентацией  $\mathbf{n} = \mathbf{e}_z$ , не говоря уже о более толстых МФГ других ориентаций.

Кривые 1–3 на рис. 3 иллюстрируют также малость «изломов» профилей  $s(\xi)$  в точке  $\xi = 0$ , обсуждавшихся в связи с формулами (16) и (30). Видно, что при рассматриваемых небольших значениях параметра переохлаждения  $\Delta$  в (3) (иллюстрируемых рис. 2) эти изломы малы и несущественны. Отметим также, что для менее реалистического пути

превращения ( $\gamma \rightarrow \alpha$ )1 изломы  $s(\xi)$  в точке  $\xi = 0$  при ориентациях МФГ, близких к  $\mathbf{n} = \mathbf{e}_z$ , оказываются заметно большими, чем для пути ( $\gamma \rightarrow \alpha$ )2. Так, для ориентаций МФГ  $\mathbf{n}$ , равных (001), (111) и (110), для которых показаны профили  $s(\xi)$  на рис. 3, скачки производных  $B_\Delta(s_0)$ , определенные равенствами (30), для пути превращения ( $\gamma \rightarrow \alpha$ )2 равны соответственно (в единицах  $1/a_\gamma$ ) 0.11, 0.05 и 0.02, в то время как для пути превращения ( $\gamma \rightarrow \alpha$ )1 (для которого профили  $s(\xi)$  на рис. 3 не показаны) эти  $B_\Delta(s_0)$  равны соответственно 0.69, 0.07 и 0.02.

Рисунки 4 и 5 и табл. 8 показывают также, что эффекты анизотропии МФГ для менее реалистического пути превращения ( $\gamma \rightarrow \alpha$ )1 являются заметно более слабыми, чем для пути ( $\gamma \rightarrow \alpha$ )2.

Сравним еще масштаб поверхностных энергий  $\sigma$ , приведенных на рис. 4, с имеющимися экспериментальными данными для других МФГ в сталях, в частности, с оценкой поверхностной энергии МФГ феррит–цементит  $\sigma_{\alpha-cmt}$  в углеродистых сталях [24]:

$$\sigma_{\alpha-cmt} \approx 740 \text{ эрг}/\text{см}^2 \approx 6.8 \cdot 10^3 \text{ К}/a_\gamma^2. \quad (104)$$

Для такого сравнения на рис. 4 естественно рассматривать «обычные» когерентные МФГ с ориентациями  $\mathbf{n}$ , не близкими к  $\mathbf{e}_z$ , в которых нет обсуждавшихся выше эффектов аномальной «мягкости» структуры относительно возникновения дефектов упаковки. Для этих обычных МФГ между  $\gamma$ - и  $\alpha$ -фазами поверхностные энергии  $\sigma_{\gamma\alpha}^{coh}$ , согласно рис. 4, имеют значения порядка  $(5-8) \cdot 10^3 \text{ К}/a_\gamma^2 \sim \sim (500-800) \text{ эрг}/\text{см}^2$ , т. е. того же порядка, что и  $\sigma_{\alpha-cmt}$ .

## 9. ЗАКЛЮЧЕНИЕ

В заключение перечислим основные результаты настоящей работы. На основе имеющихся экспериментальных данных о фононных спектрах ГЦК- и ОЦК-железа и некоторых физически естественных интерполяций построен обобщенный функционал Гинзбурга–Ландау для исследований кинетики мартенситных фазовых превращений в железе и малоуглеродистых сталях. Этот функционал использован для расчетов структуры и энергии когерентных межфазных границ между аустенитом и мартенситом при различных ориентациях этих границ. Обнаружены эффекты резкой анизотропии этих МФГ, включая резкие минимумы в их ширине и поверхностной энергии при ориентациях МФГ, параллельных плотноупакованным атомным плоскостям. Полученные результаты могут использоваться для развития микроскопических теорий

процессов зарождения и роста мартенситных включений в аустените.

Авторы глубоко благодарны Ю. Нейхаузу за подробную информацию о результатах работы [14], существенно использованную в настоящей статье; П. А. Коржавому за большую помощь в работе; а также ИТЦ «Аусферр», Магнитогорск, за поддержку этой работы. Работа выполнена при финансовой поддержке РФФИ (грант № 09-02-00563); фонда поддержки ведущих научных школ РФ (гранты НШ-3004.2008.2, НШ-7235.2010.2), а также в рамках программы развития научного потенциала высшей школы РФ (грант № 2.1.1/4540).

## ПРИЛОЖЕНИЯ

### A.1. Связь ковариантных параметров Борна–Кармана в (51) с аналогичными экспериментальными параметрами для ГЦК-кристаллов

В экспериментальных исследованиях фононных спектров ОЦК-металлов, в частности, в работах [12–14], принято использовать нековариантные параметры Борна–Кармана  $\alpha_n - \delta_n$ , являющиеся матричными элементами матриц силовых постоянных  $\mathbf{A}_n$  для некоторых векторов решетки. Для ОЦК-металлов связь этих параметров  $\alpha_n - \delta_n$  с ковариантными параметрами  $a_n - d_n$ , используемыми в формуле (51), дается формулами (93) работы [6]. Укажем аналогичную связь для ГЦК-решетки.

Матрицы силовых постоянных  $\mathbf{A}_n$  для векторов ГЦК-решетки  $\mathbf{R}_n$ , указываемых ниже перед каждой из матриц, в экспериментальных работах (в частности, в [12]) описываются такими выражениями:

$$(0.5, 0.5, 0) : \mathbf{A}_1 = \begin{pmatrix} \alpha_1 & \gamma_1 & 0 \\ \gamma_1 & \alpha_1 & 0 \\ 0 & 0 & \beta_1 \end{pmatrix};$$

$$(100) : \mathbf{A}_2 = \begin{pmatrix} \alpha_2 & 0 & 0 \\ 0 & \beta_2 & 0 \\ 0 & 0 & \beta_2 \end{pmatrix};$$

$$(1, 0.5, 0.5) : \mathbf{A}_3 = \begin{pmatrix} \alpha_3 & \delta_3 & \delta_3 \\ \delta_3 & \beta_3 & \gamma_3 \\ \delta_3 & \gamma_3 & \beta_3 \end{pmatrix};$$

$$(110) : \mathbf{A}_4 = \begin{pmatrix} \alpha_4 & \gamma_4 & 0 \\ \gamma_4 & \alpha_4 & 0 \\ 0 & 0 & \beta_4 \end{pmatrix};$$

Таблица 9. Параметры  $a_n$ ,  $b_n$ ,  $c_n$ ,  $d_n$  в формулах (51) для железа (в дин/см)

|                                 | $n$   | 1      | 2      | 3      | 4     | 5     | 6    |
|---------------------------------|-------|--------|--------|--------|-------|-------|------|
| ГЦК-Fe,<br>$T = 1428$ К<br>[12] | $a_n$ | -27018 | 21039  | -182   | -908  | -114  | 1302 |
|                                 | $b_n$ | 688    | -309   | 732    | -489  | 136   | 217  |
|                                 | $c_n$ | 5870   |        | -10182 | -1120 | -3    |      |
|                                 | $d_n$ |        |        | 13752  |       | 4     |      |
| ОЦК-Fe,<br>$T = 293$ К<br>[13]  | $a_n$ | -44730 | -14560 | -2224  | -194  | 720   |      |
|                                 | $b_n$ | -2950  | -360   | 278    | 91    | -10   |      |
|                                 | $c_n$ |        |        | -4060  | -2282 |       |      |
|                                 | $d_n$ |        |        | 3731   |       |       |      |
| ОЦК-Fe,<br>$T = 773$ К<br>[14]  | $a_n$ | -41680 | -11953 | -4172  | 2152  | -4257 |      |
|                                 | $b_n$ | -1633  | -659   | 977    | -215  | 1319  |      |
|                                 | $c_n$ |        |        | -886   | 4334  |       |      |
|                                 | $d_n$ |        |        |        | -7054 |       |      |
| ОЦК-Fe,<br>$T = 1043$ К<br>[14] | $a_n$ | -44889 | -7402  | -2777  | -29   | -596  |      |
|                                 | $b_n$ | 2263   | -732   | 40     | 405   | -37   |      |
|                                 | $c_n$ |        |        | 270    | 5104  |       |      |
|                                 | $d_n$ |        |        |        | -5509 |       |      |
| ОЦК-Fe,<br>$T = 1173$ К<br>[14] | $a_n$ | -44507 | -7919  | -3661  | -20   | -3    |      |
|                                 | $b_n$ | 3615   | 249    | 382    | 293   | -374  |      |
|                                 | $c_n$ |        |        | 2751   | 9761  |       |      |
|                                 | $d_n$ |        |        |        | -9443 |       |      |

$$(1.5, 0.5, 0) : \quad \mathbf{A}_5 = \begin{pmatrix} \alpha_5 & \delta_5 & 0 \\ \delta_5 & \beta_5 & 0 \\ 0 & 0 & \gamma_5 \end{pmatrix}; \quad (105)$$

$$(111) : \quad \mathbf{A}_6 = \begin{pmatrix} \alpha_6 & \beta_6 & \beta_6 \\ \beta_6 & \alpha_6 & \beta_6 \\ \beta_6 & \beta_6 & \alpha_6 \end{pmatrix}.$$

При этом ковариантные параметры Борна–Кармана  $a_n - d_n$  в формулах (51) выражаются через параметры  $\alpha_n - \delta_n$  в формулах (105) так:

$$\begin{aligned} a_1 &= \frac{4}{5}(\alpha_1 - \beta_1 + \frac{3}{2}\gamma_1), \\ b_1 &= \frac{2}{5}(\alpha_1 + \frac{3}{2}\beta_1 - \gamma_1), \quad c_1 = 2(\alpha_1 - \beta_1 - \gamma_1); \\ a_2 &= \alpha_2 - \beta_2, \quad b_2 = \beta_2; \\ a_3 &= \frac{2}{5}(2\alpha_3 - 2\beta_3 - \gamma_3 + 5\delta_3), \\ b_3 &= \frac{1}{15}(\alpha_3 + 14\beta_3 - 10\gamma_3 - 4\delta_3), \end{aligned}$$

$$\begin{aligned} c_3 &= 2(\alpha_3 - \beta_3 + 5\gamma_3 - 4\delta_3), \quad d_3 = 6(\delta_3 - 2\gamma_3); \\ a_4 &= \frac{4}{5}(\alpha_4 - \beta_4 + \frac{3}{2}\gamma_4), \\ b_4 &= \frac{2}{5}(\alpha_4 + \frac{3}{2}\beta_4 - \gamma_4), \quad c_4 = 2(\alpha_4 - \beta_4 - \gamma_4); \\ a_5 &= \frac{1}{36}(13\alpha_5 + 27\beta_5 - 40\gamma_5 + 72\delta_5), \end{aligned} \quad (106)$$

$$\begin{aligned} b_5 &= \frac{1}{9}(\alpha_5 + 9\beta_5 - \gamma_5 - 6\delta_5), \\ c_5 &= \frac{5}{9}(\alpha_5 + 9\beta_3 - 10\gamma_5 - 6\delta_5), \\ d_5 &= \frac{25}{36}(\alpha_5 - 9\beta_5 + 8\gamma_5); \\ a_6 &= 3\beta_6, \quad b_6 = (\alpha_6 - \beta_6). \end{aligned}$$

Нужно также иметь в виду, что в экспериментальных работах значения параметров  $\alpha_n - \delta_n$ , т. е. динамическая матрица в формуле (61), определяются со знаком, обратным используемому нами.

**A.2. Значения ковариантных параметров  
Борна – Кармана для ГЦК- и ОЦК-железа  
при различных температурах**

В табл. 9 мы приводим значения параметров Борна – Кармана  $a_n - d_n$  в формулах (51), пересчитанные по формулам (106) или по формулам (93) работы [6] из параметров  $\alpha_n - \delta_n$ , приведенных в экспериментальных работах [12–14].

## ЛИТЕРАТУРА

1. Г. В. Курдюмов, Л. М. Утевский, Р. И. Энтин, *Превращения в железе и стали*, Наука, Москва (1977), Гл. 3.
2. А. Л. Ройтбурд, в кн.: *Несовершенства кристаллического строения и мартенситные превращения*, Наука, Москва (1972), с. 7.
3. A. B. Borgenstam, *Nucleation and Growth of Martensite in Steel*, Doctoral Thesis, Royal Institute of Technology, Stockholm, Sweden (1997).
4. G. L. Krasko and G. B. Olson, Phys. Rev. B **40**, 11536 (1989).
5. S. V. Okatov, A. R. Kuznetsov, Yu. N. Gornostyrev, V. N. Urtsev, and M. I. Katsnelson, Phys. Rev. B **79**, 094111 (2009).
6. В. Г. Вакс, К. Ю. Хромов, ЖЭТФ **136**, 722 (2009).
7. В. Г. Вакс, К. Ю. Хромов, ЖЭТФ **139**, 924 (2011).
8. I. R. Pankratov and V. G. Vaks, Phys. Rev. B **68**, 134208 (2003).
9. K. Yu. Khromov, I. R. Pankratov, and V. G. Vaks, Phys. Rev. B **72**, 094207 (2005).
10. M. Ekman, B. Sadigh, K. Einarsdotter, and P. Blaha, Phys. Rev. B **58**, 5296 (1998).
11. P.-A. Lindgard and O. G. Mouritsen, Phys. Rev. Lett. **57**, 2458 (1986).
12. J. Zaretsky and C. Stassis, Phys. Rev. B **35**, 4500 (1987).
13. C. Van Dijk and J. Bergsma, in: *Neutron Inelastic Scattering*, IAEA, Vienna (1968), Vol. 1, p. 233.
14. J. Neuhaus, W. Petry, and A. Krimmel, Physica B **234–236**, 897 (1997).
15. Б. М. Могутнов, И. А. Томилин, Л. А. Шварц, *Термодинамика железо-углеродистых сплавов*, Металлургия, Москва (1972), Гл. 5.
16. Л. Д. Ландау, Е. М. Лифшиц, *Электродинамика сплошных сред*, Наука, Москва (1982), § 43, задача 4.
17. Л. Д. Ландау, Е. М. Лифшиц, *Статистическая физика*, Наука, Москва (1995), § 120.
18. А. Г. Хачатуян, *Теория фазовых превращений и структура твердых растворов*, Наука, Москва (1974), § 23.
19. М. Борн, Хуан Кунь, *Динамика кристаллических решеток в гармоническом приближении*, Изд-во иностр. лит., Москва (1958), Гл. 5.
20. В. Г. Вакс, И. А. Журавлев, А. Д. Заболотский, ЖЭТФ **141**, 530 (2012).
21. H. R. Schober and P. H. Dederichs, in: *Landolt-Börnstein*, Vol. 13A, Metals Springer, Berlin (1981), p. 1.
22. О. П. Морозов, Д. А. Мирзаев, М. М. Штейнберг, ФММ **32**, 170 (1971).
23. K. Yu. Khromov, F. Soisson, A. Yu. Stroev, and V. G. Vaks, ЖЭТФ **139**, 479 (2011).
24. В. М. Счастливцев, Д. А. Мирзаев, И. Л. Яковleva и др., *Перлит в углеродистых стальах*, ИФМ УрО РАН, Екатеринбург (2006), Гл. 2, с. 32.